

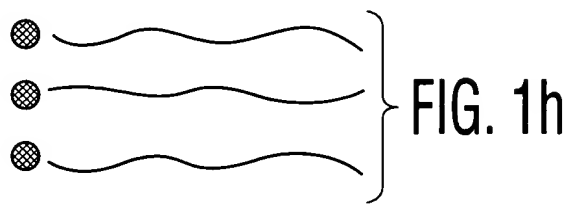
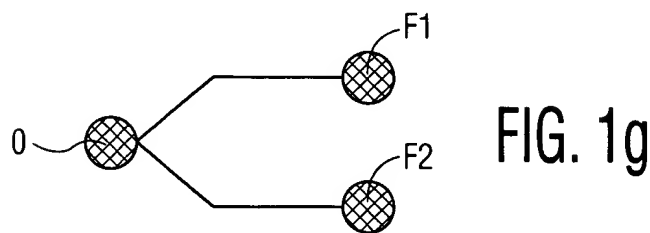
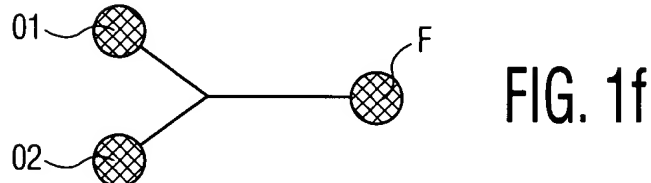
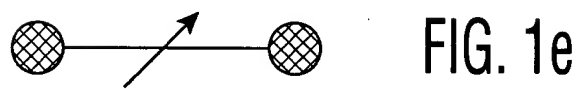
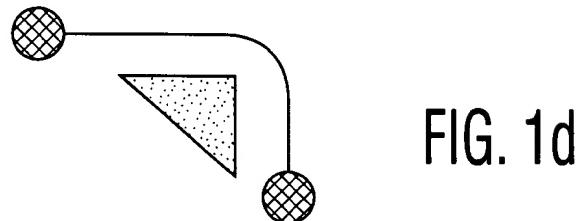
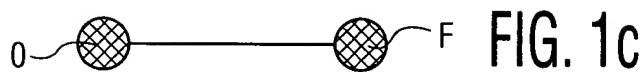


1/41

◎ FIG. 1a



FIG. 1b



2/41

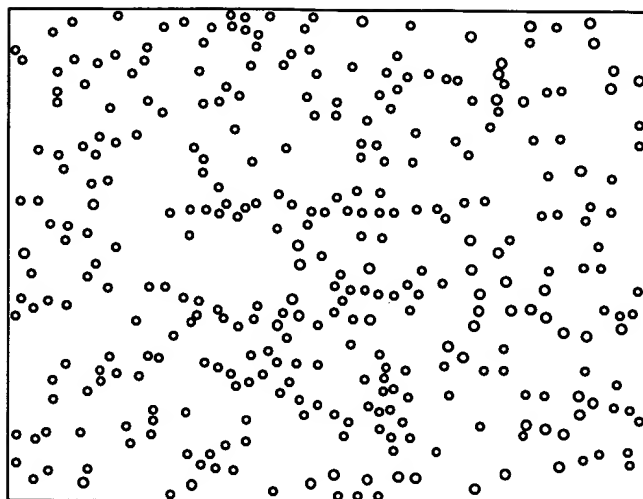
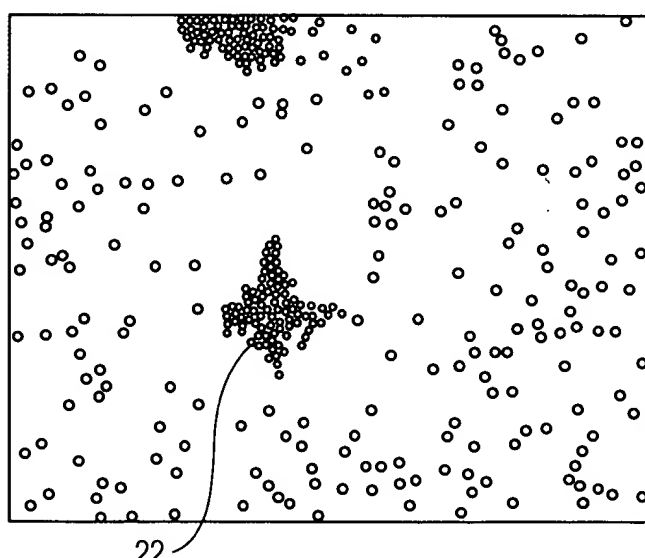


FIG. 2A



22

FIG. 2B

3/41

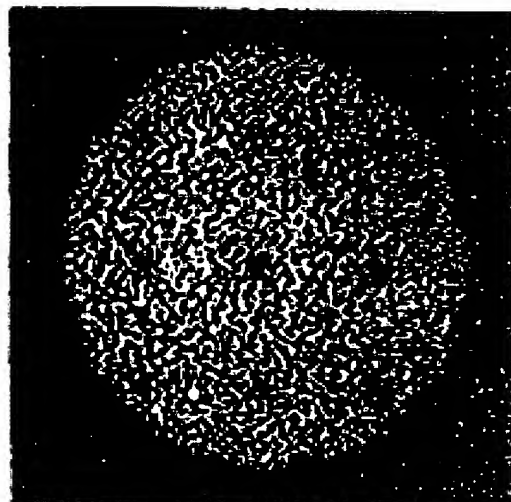


FIG. 2C

BEST AVAILABLE COPY

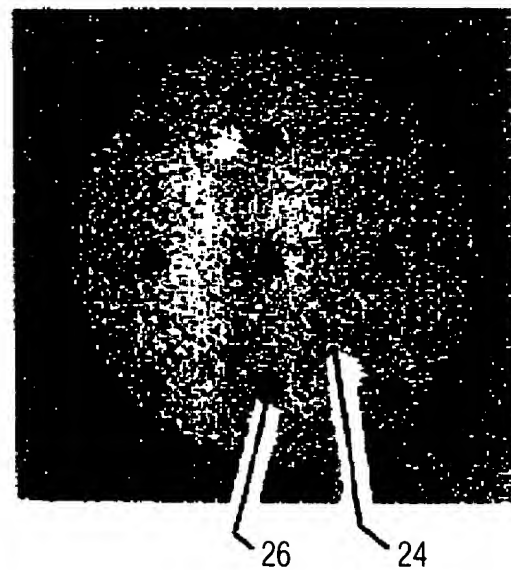


FIG. 2D

4/41

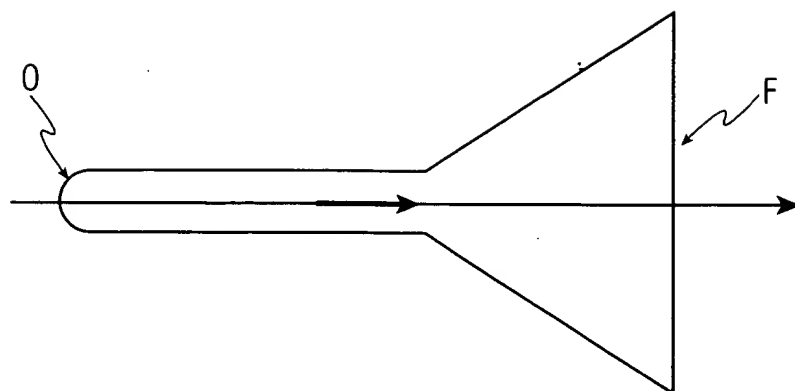


FIG. 3a

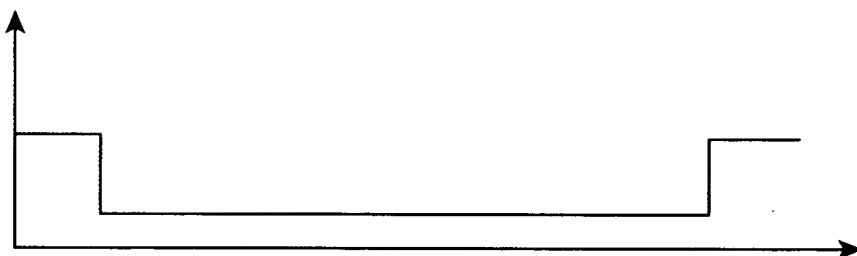


FIG. 3b

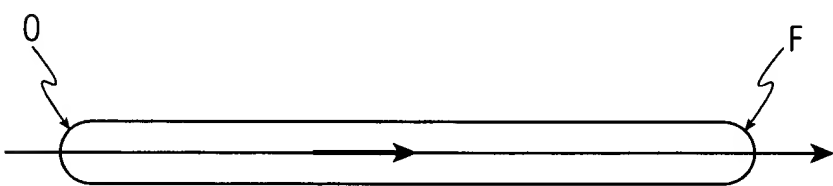


FIG. 3c

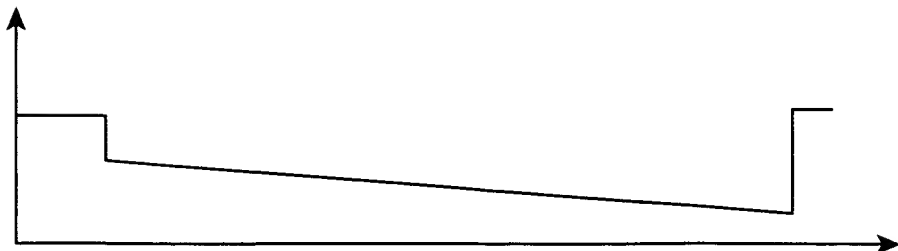


FIG. 3d

5/41

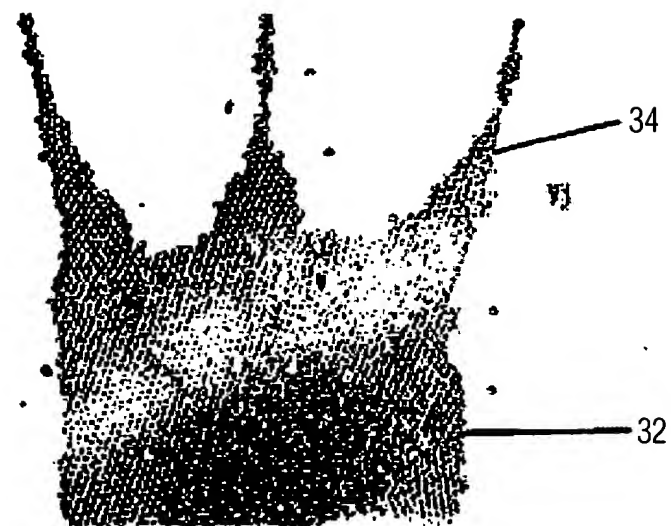


FIG. 3c

BEST AVAILABLE COPY

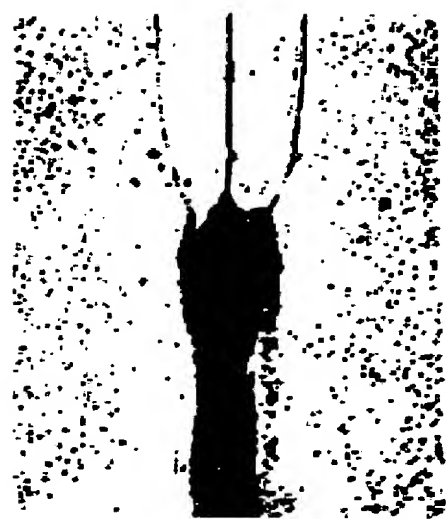


FIG. 3d

6/41

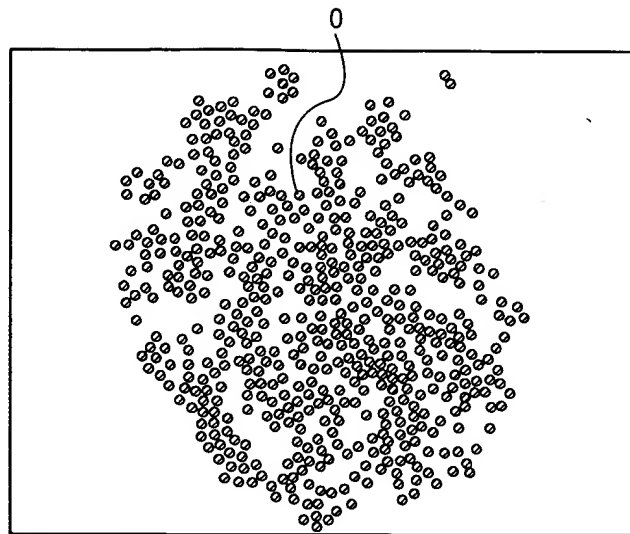


FIG. 4A

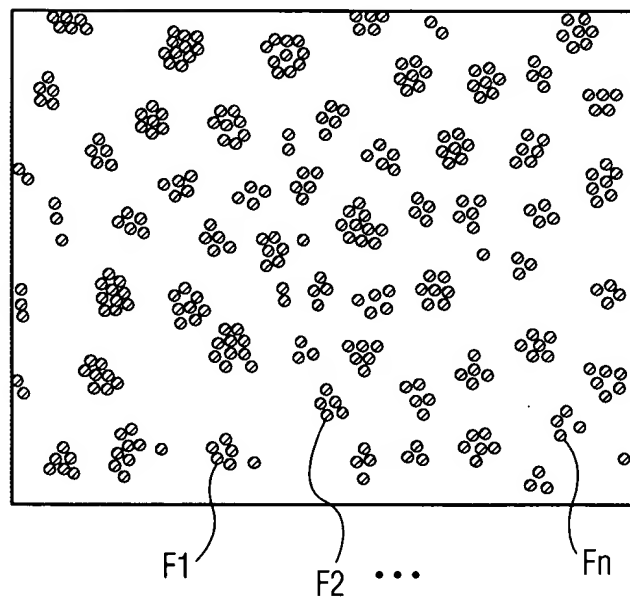


FIG. 4B

7/41

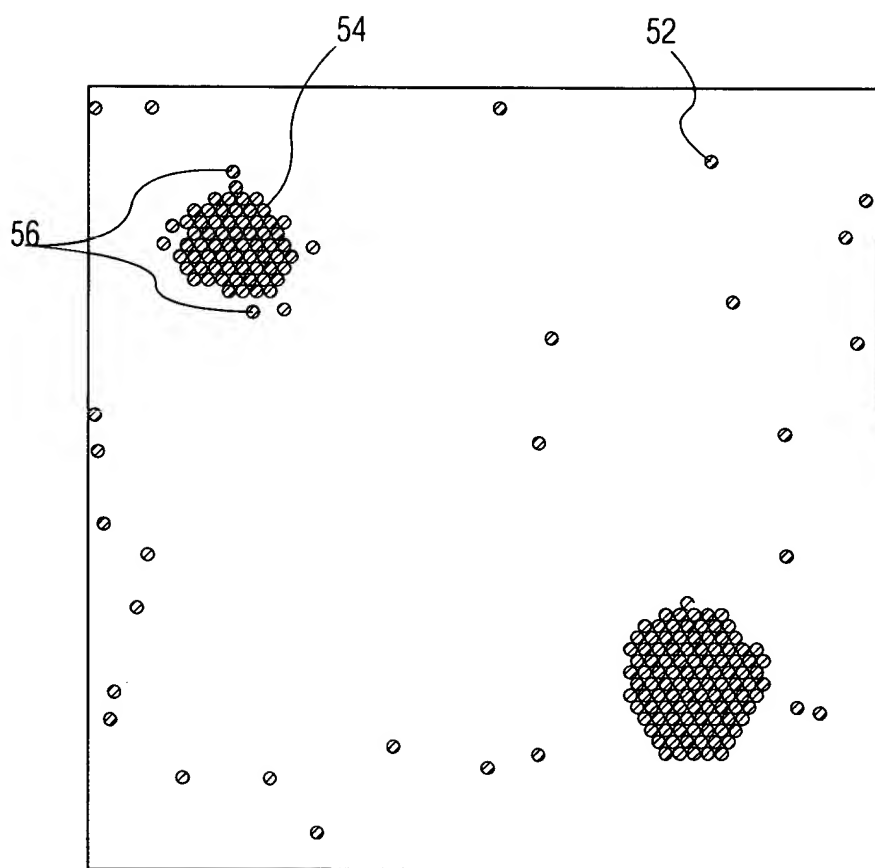


FIG. 5

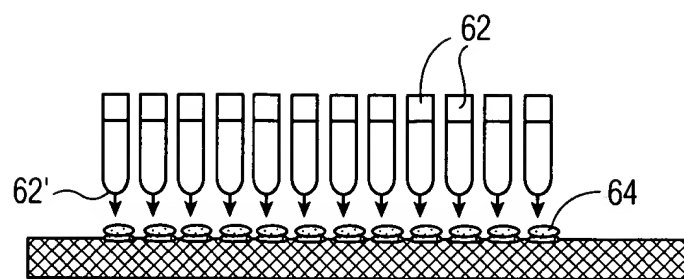


FIG. 6a

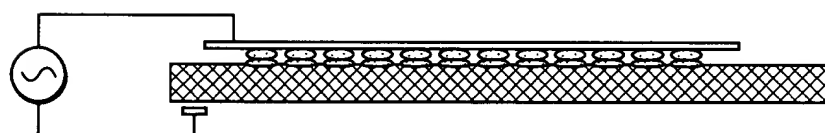


FIG. 6b

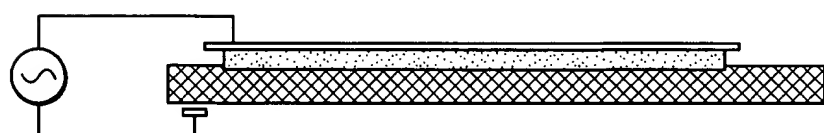


FIG. 6c

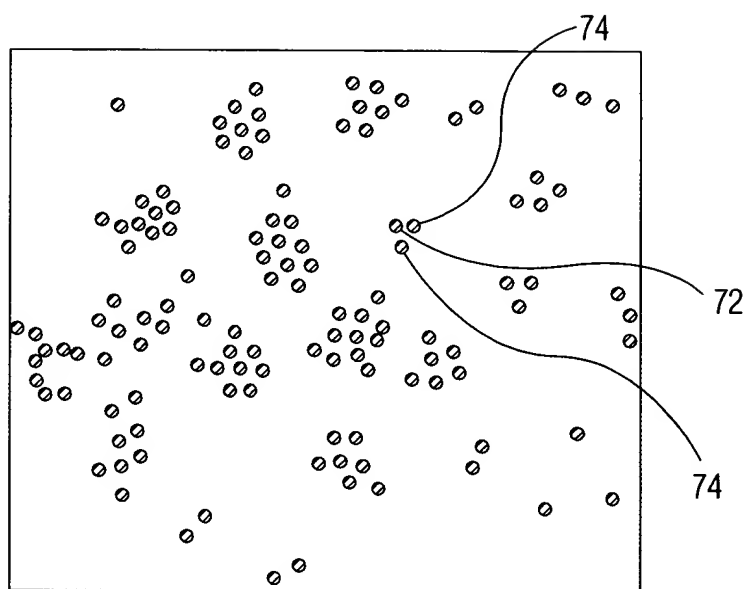


FIG. 7

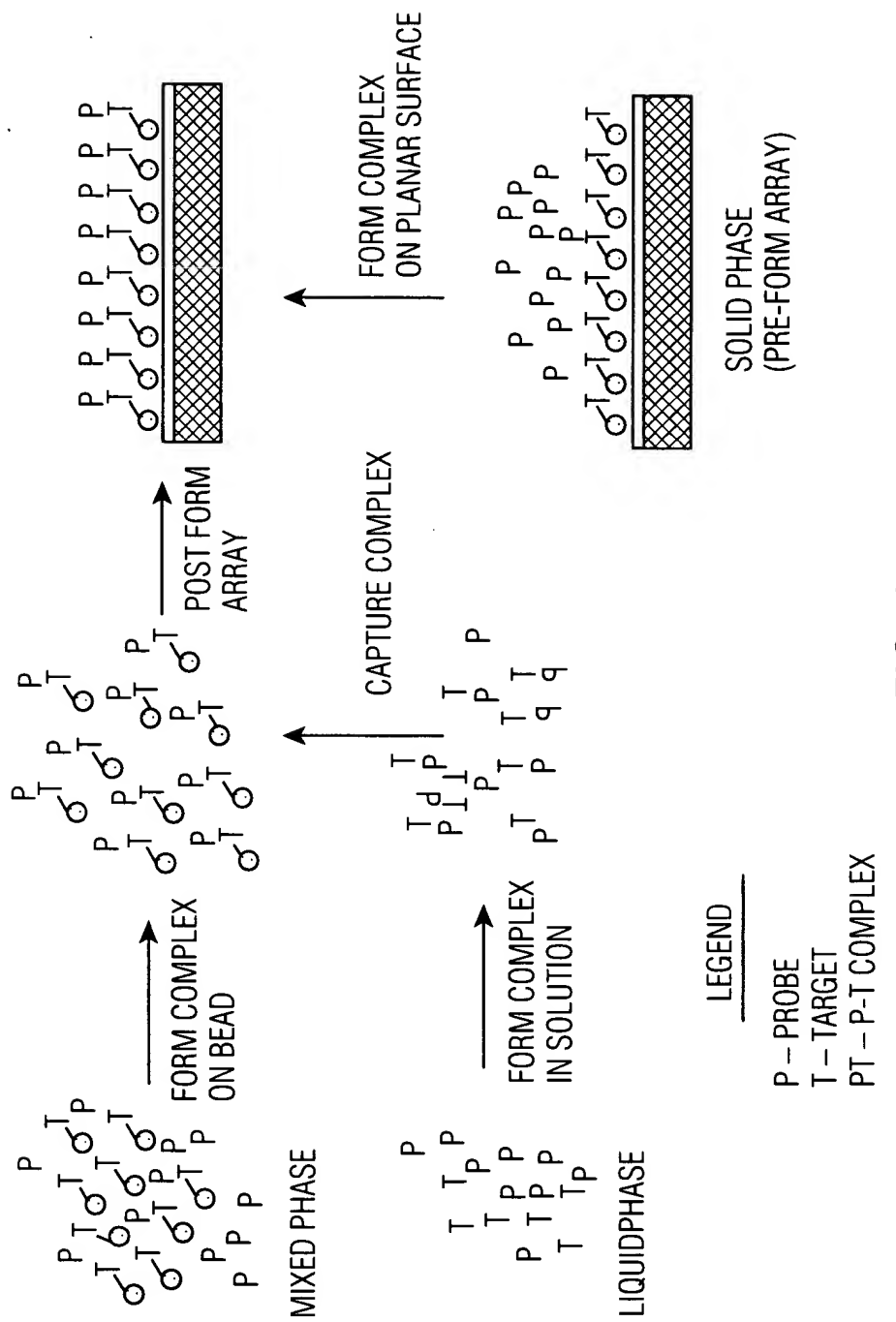


FIG. 8

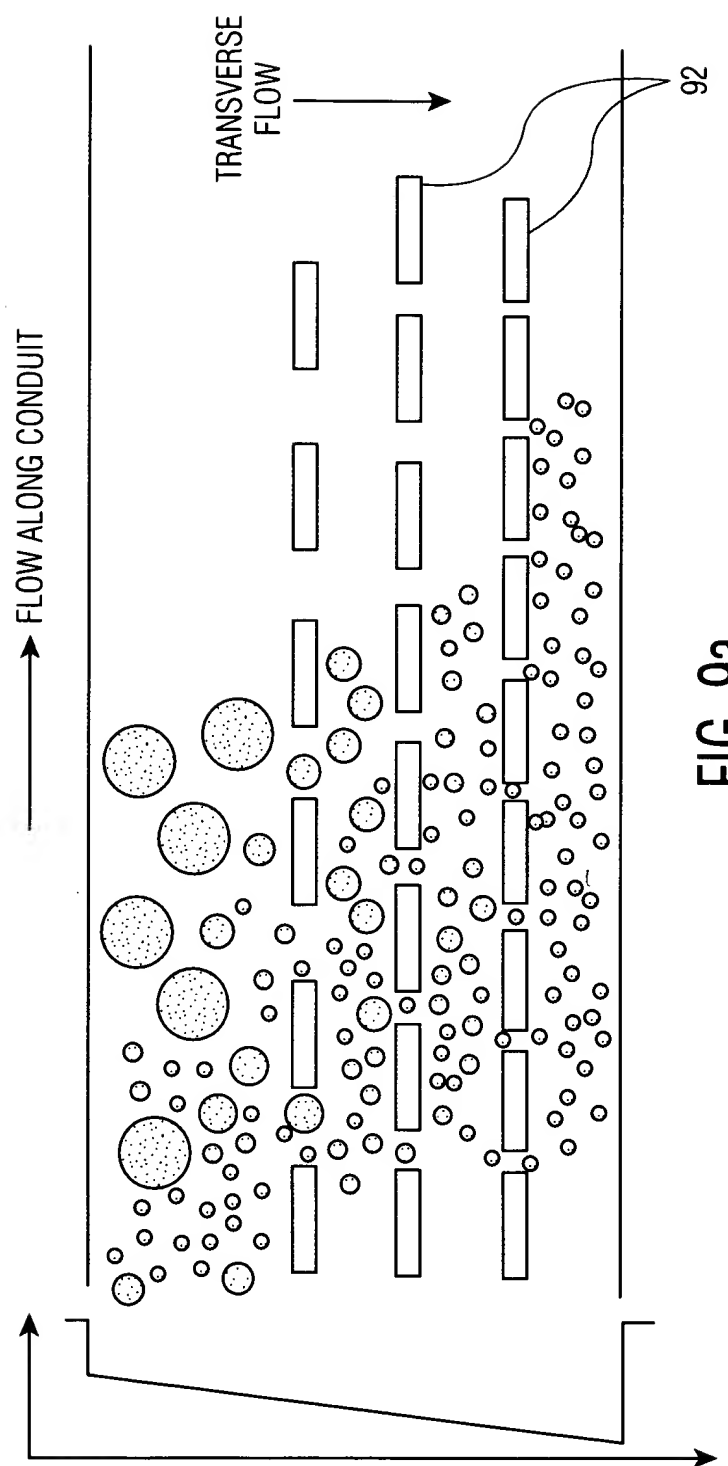


FIG. 9a

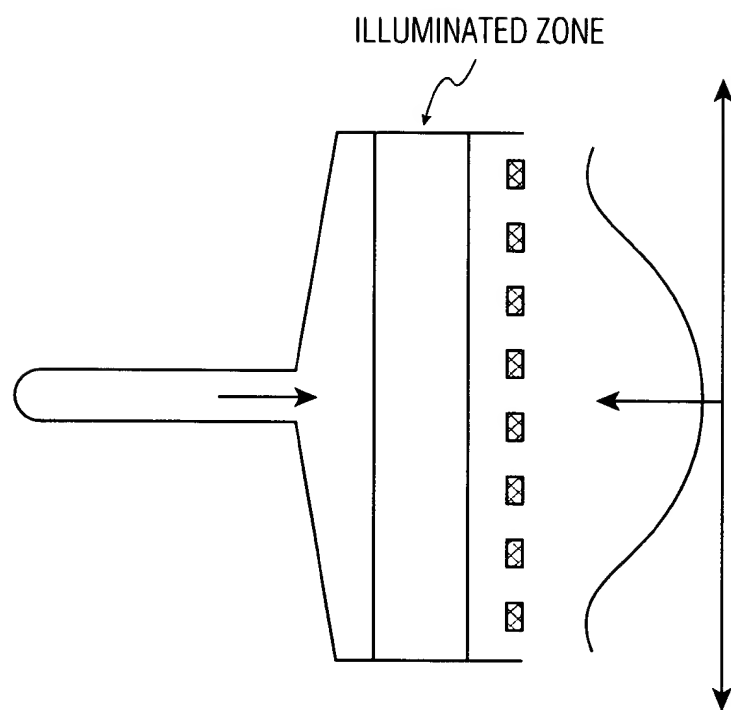


FIG. 9b



FIG. 9c

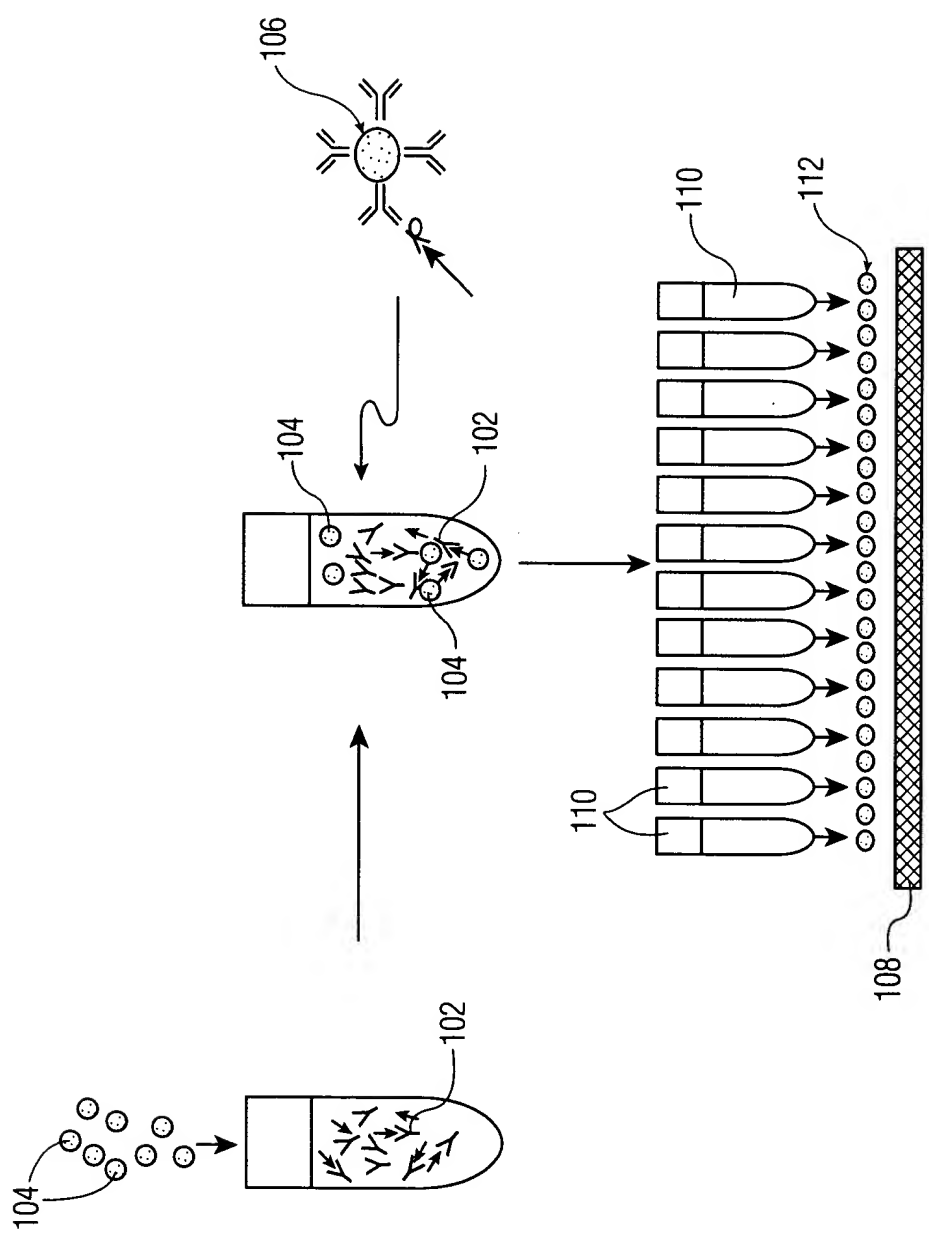


FIG. 10

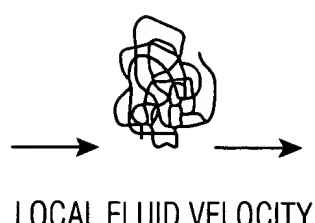


FIG. 11a

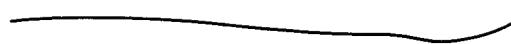


FIG. 11b

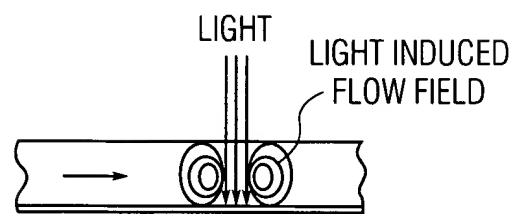


FIG. 11c

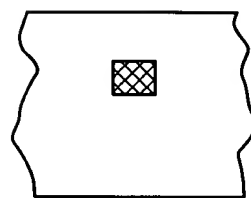


FIG. 11d

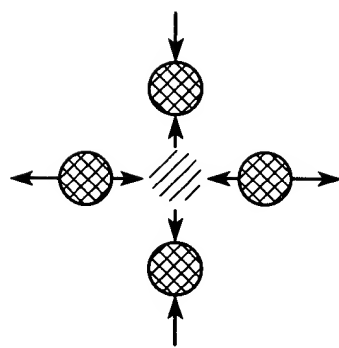


FIG. 11e

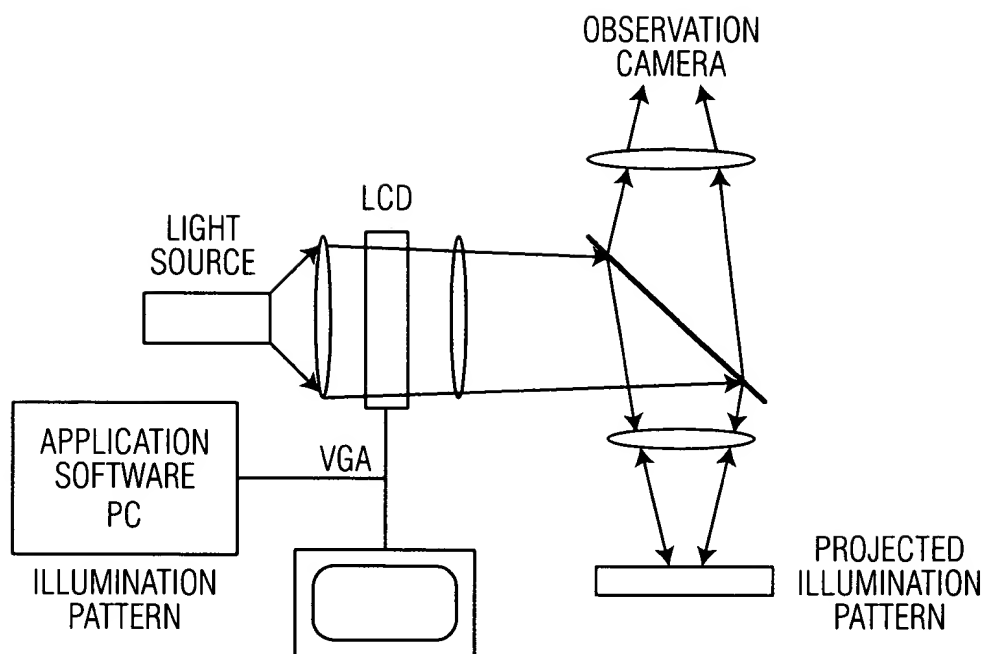


FIG. 12
PRIOR ART

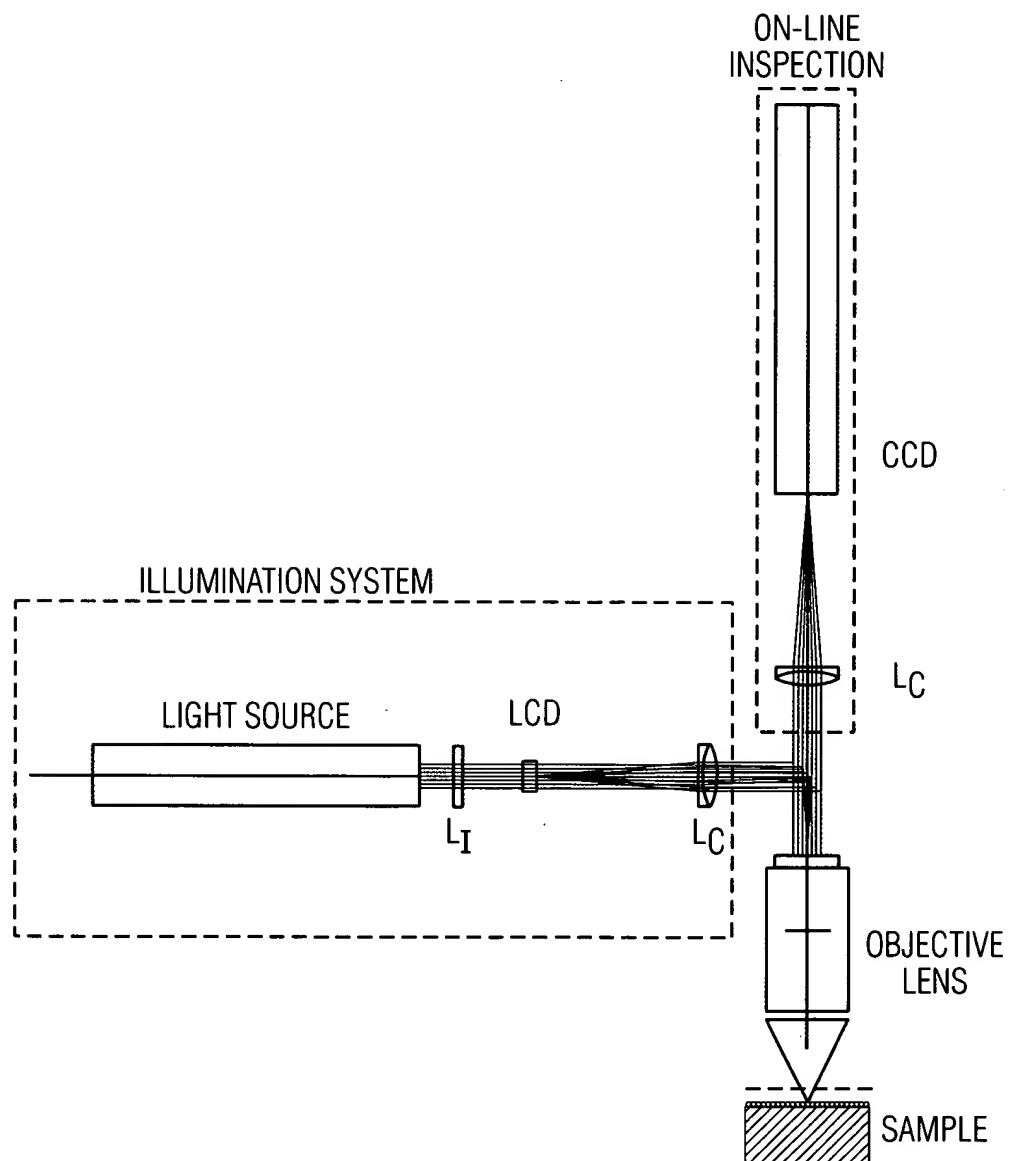


FIG. 13

18/41

FIG. 14a

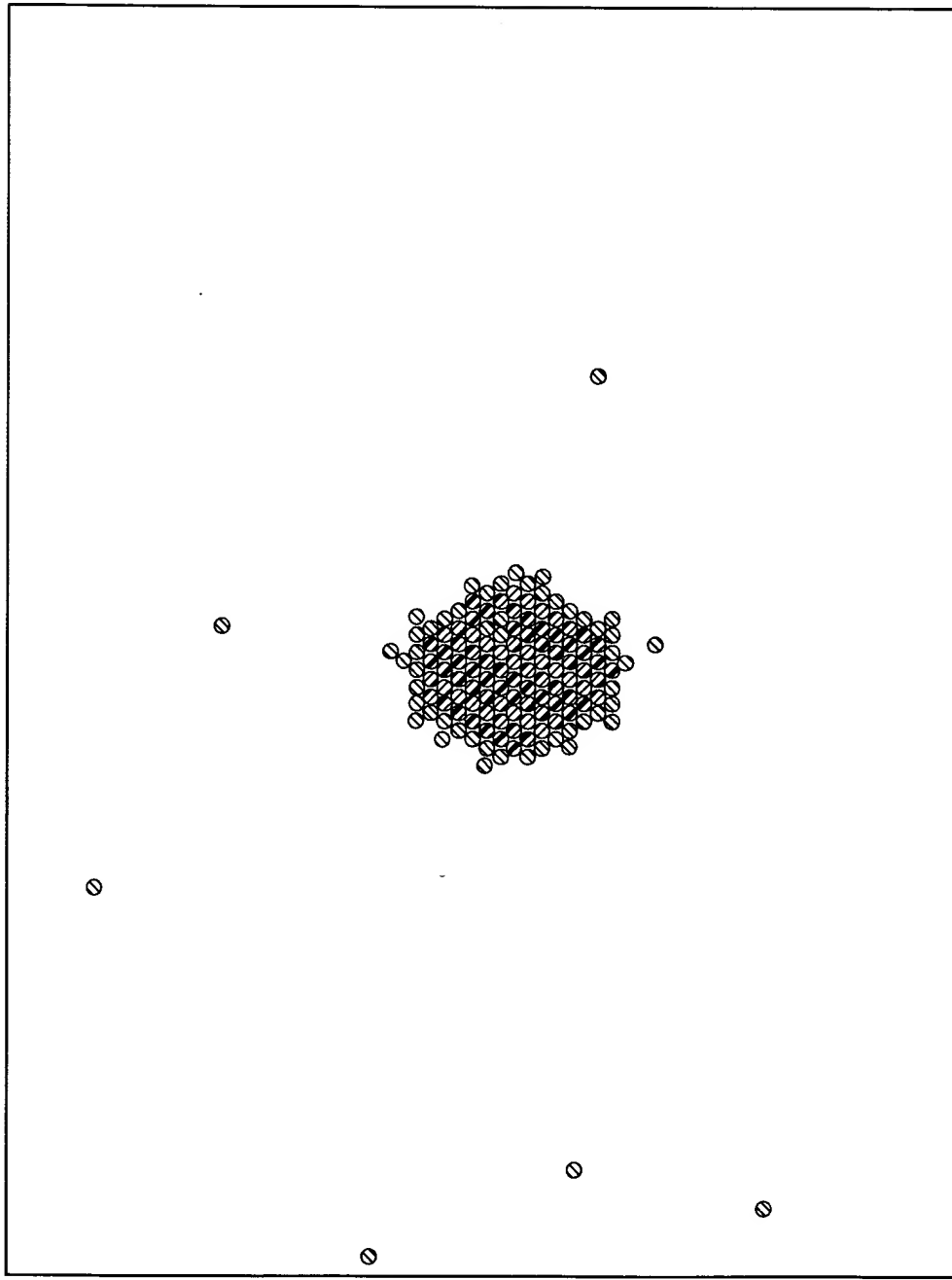


FIG. 14b

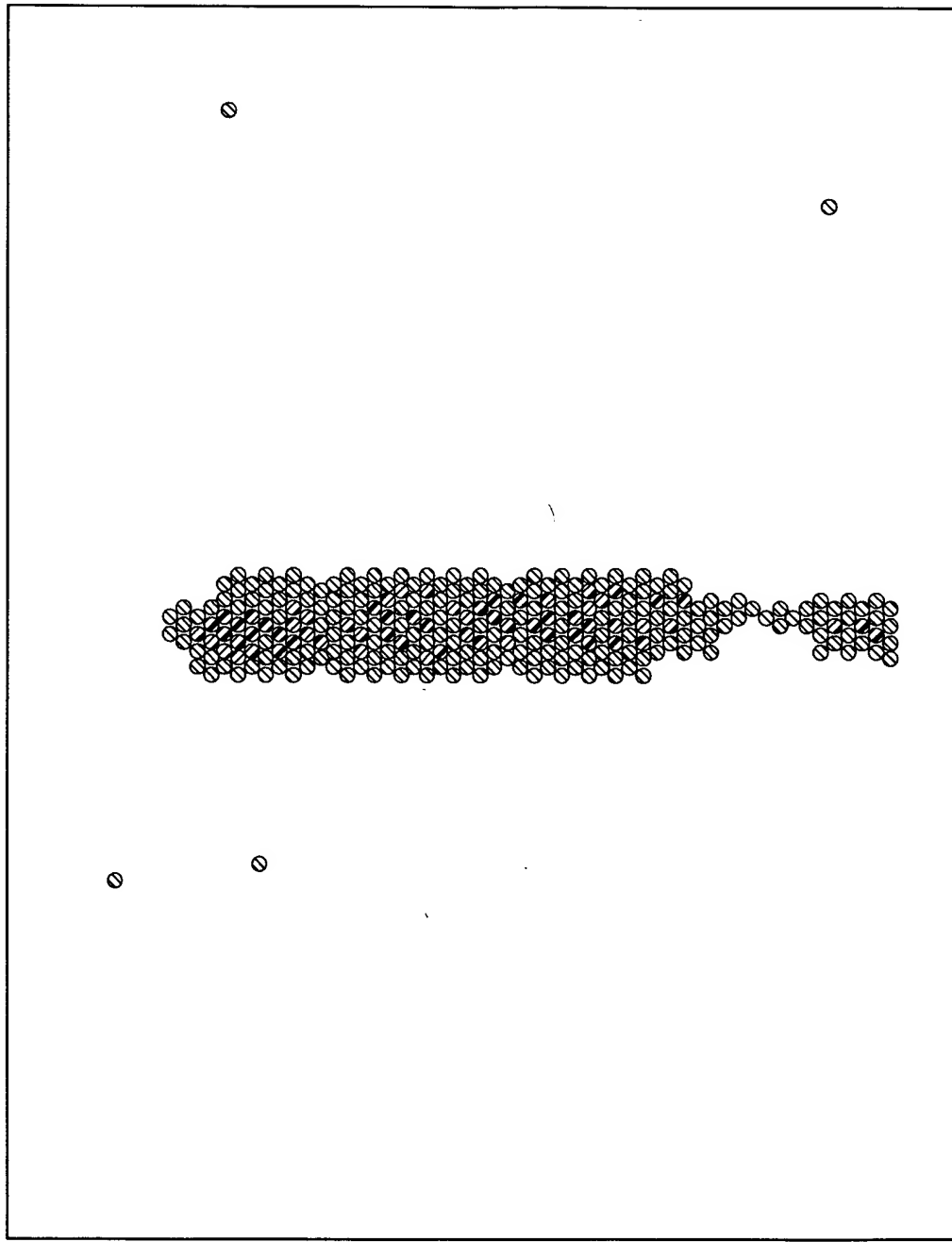


FIG. 14c

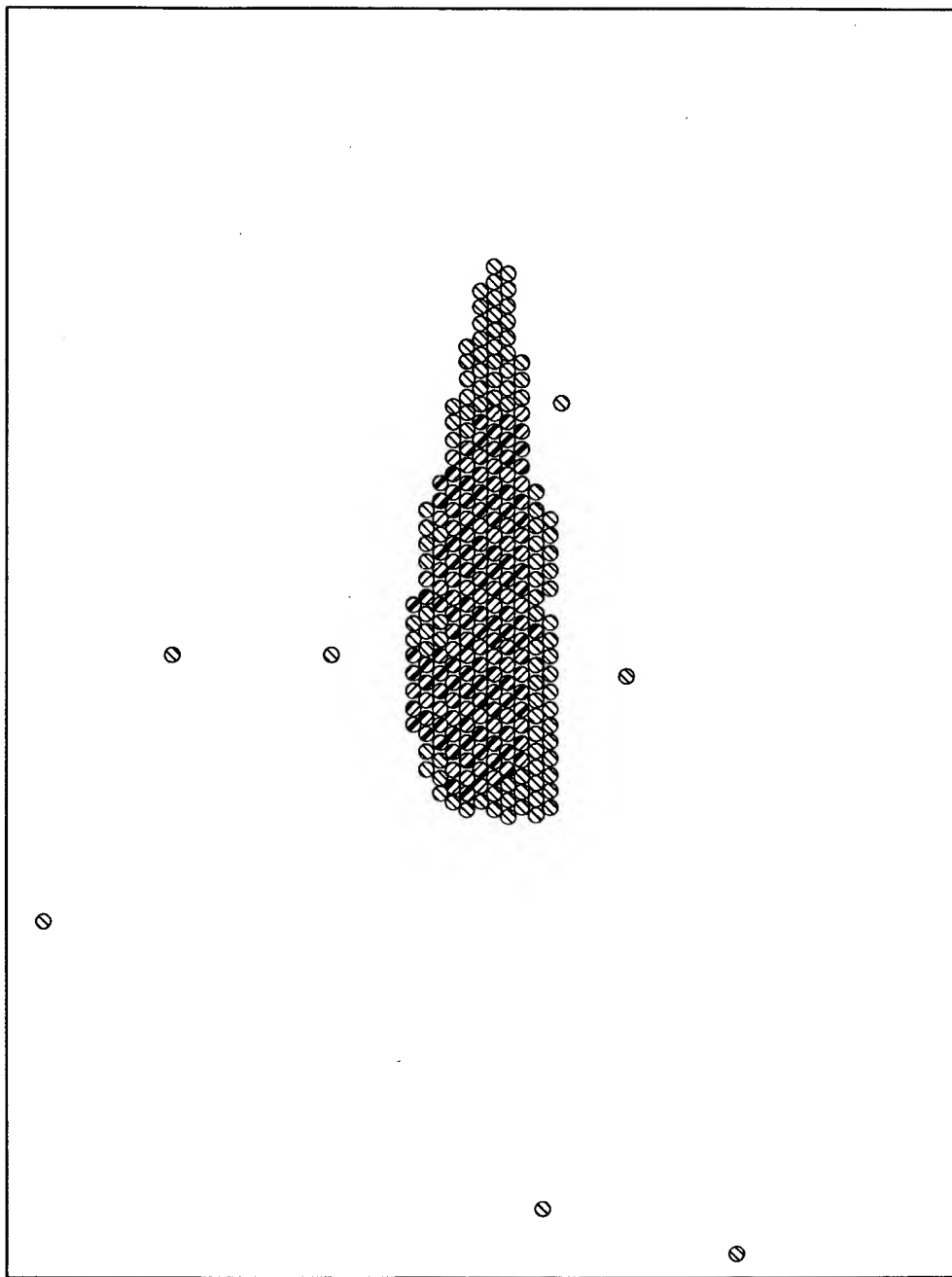


FIG. 14d

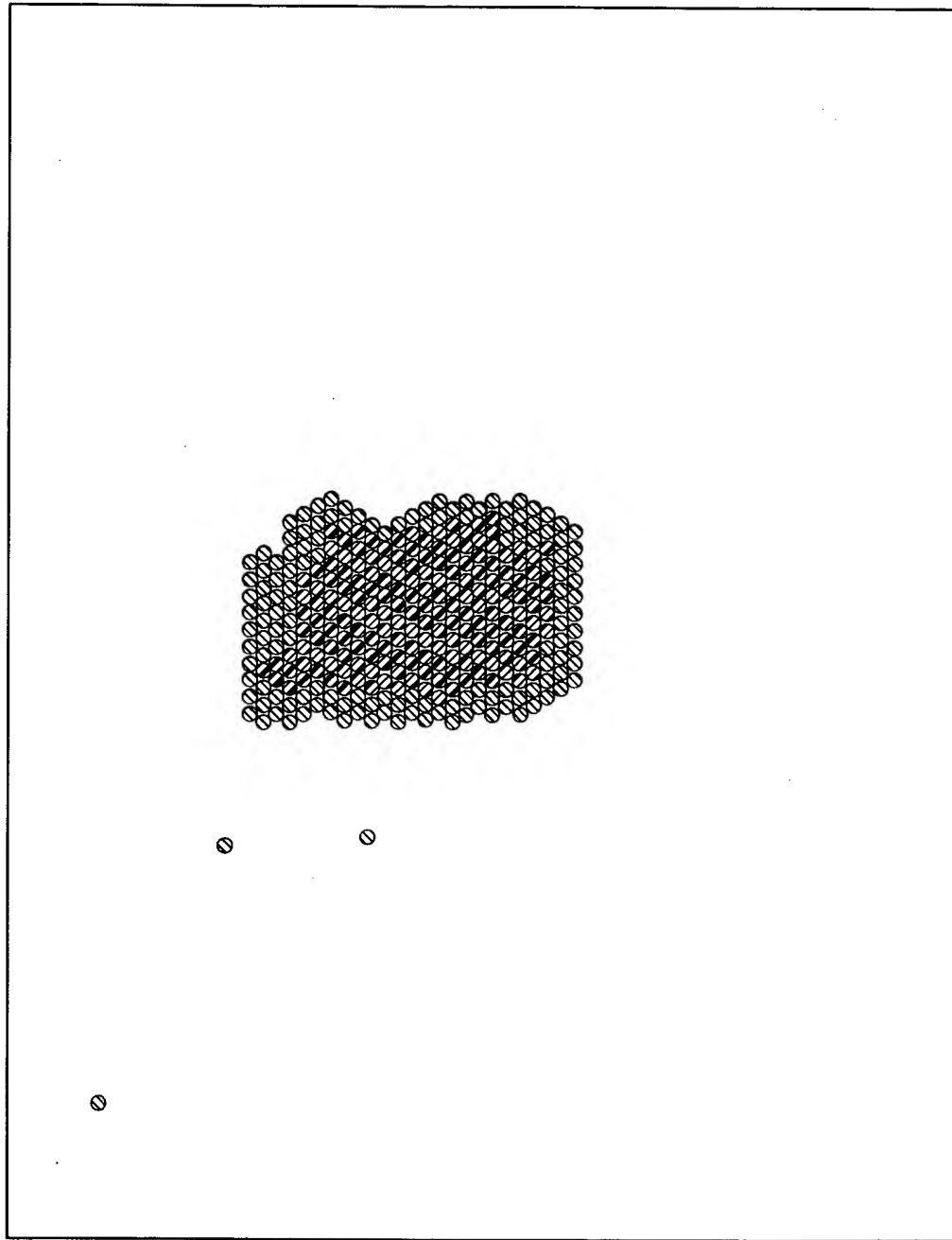
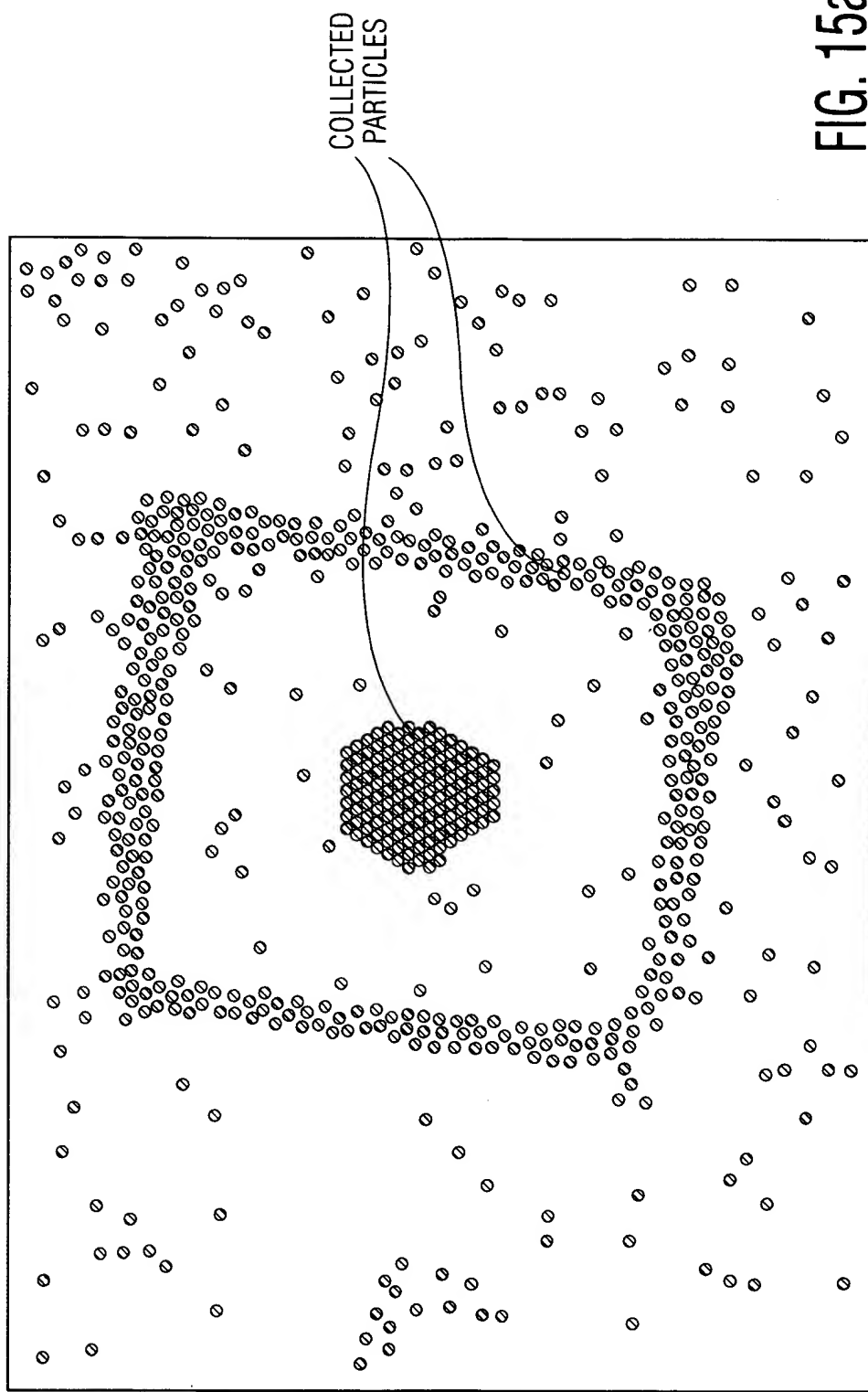


FIG. 15a



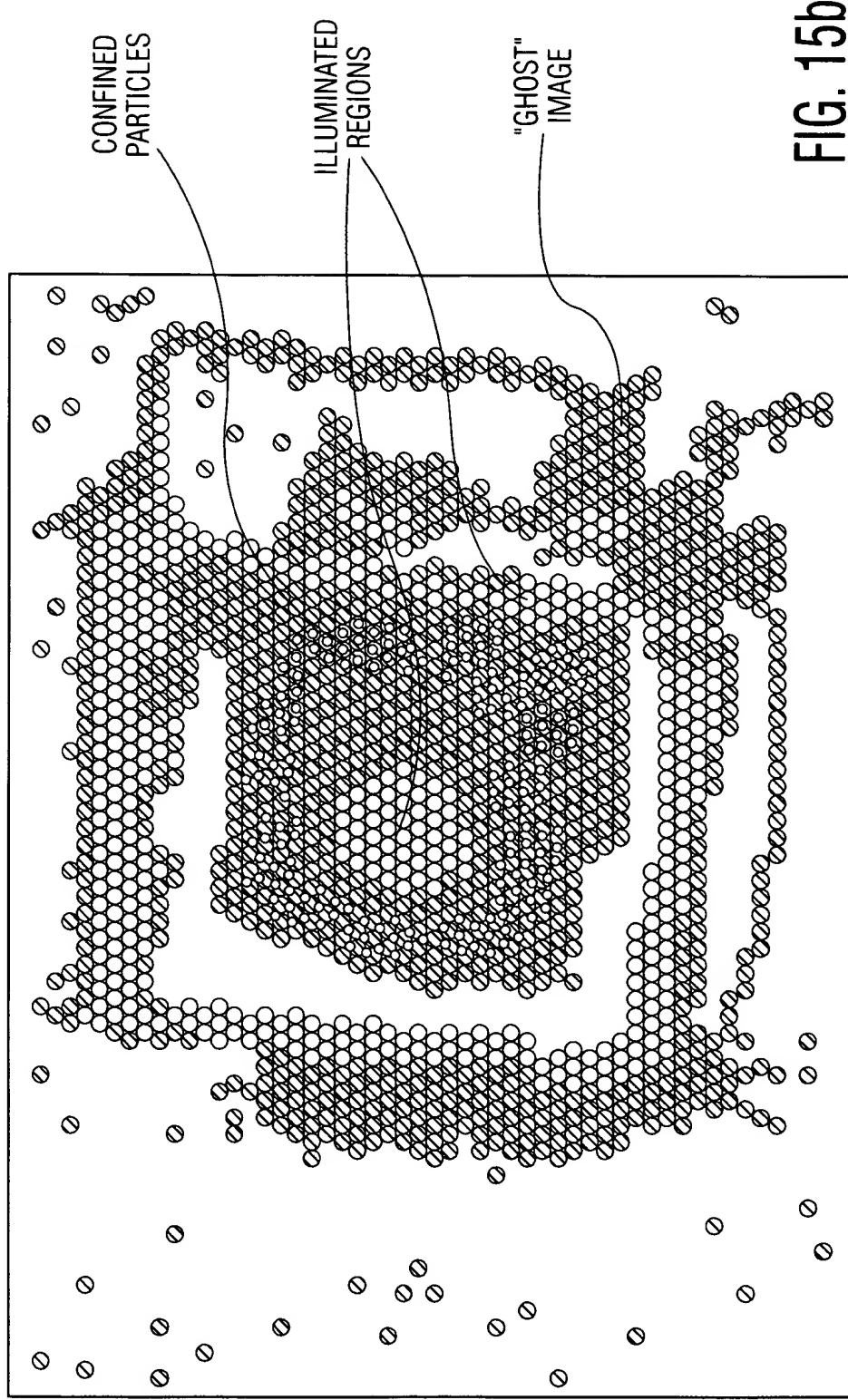
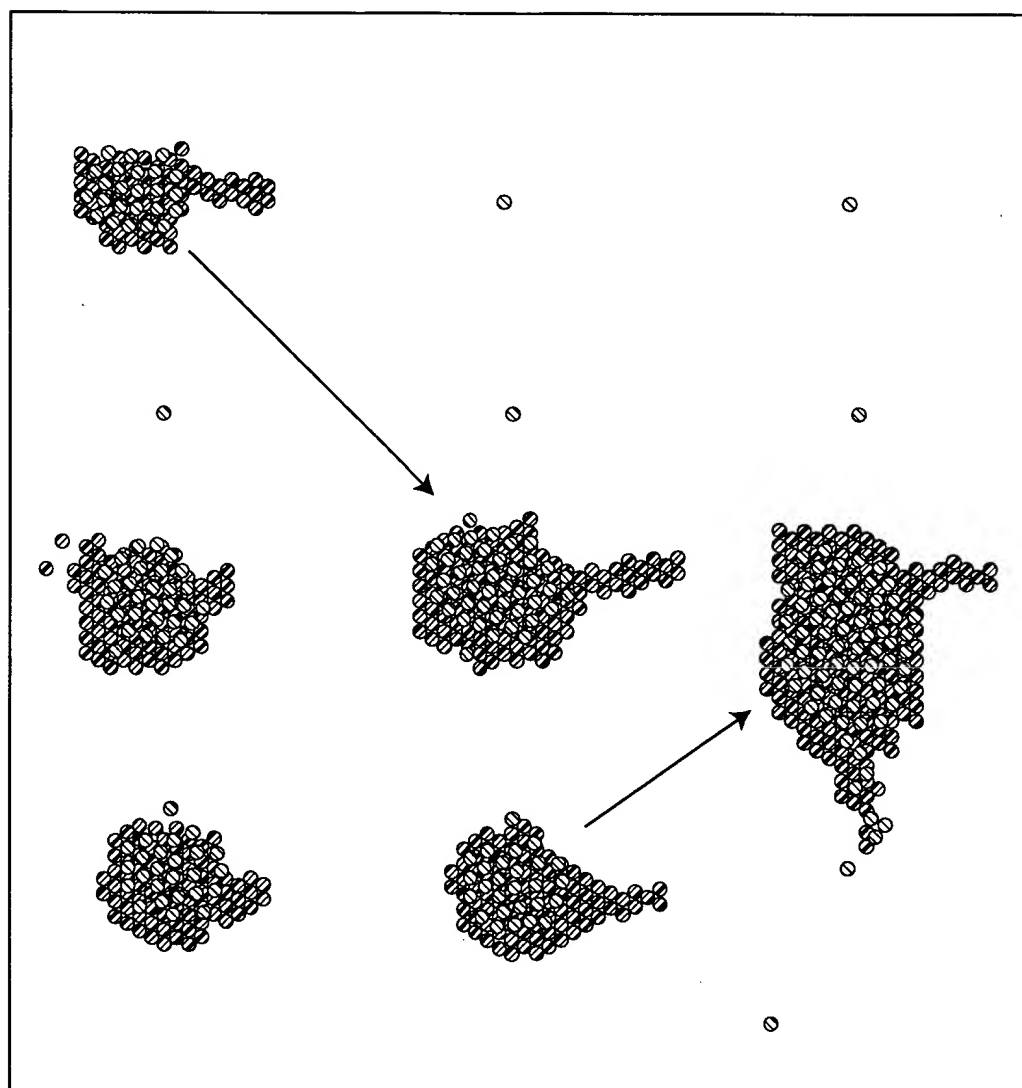
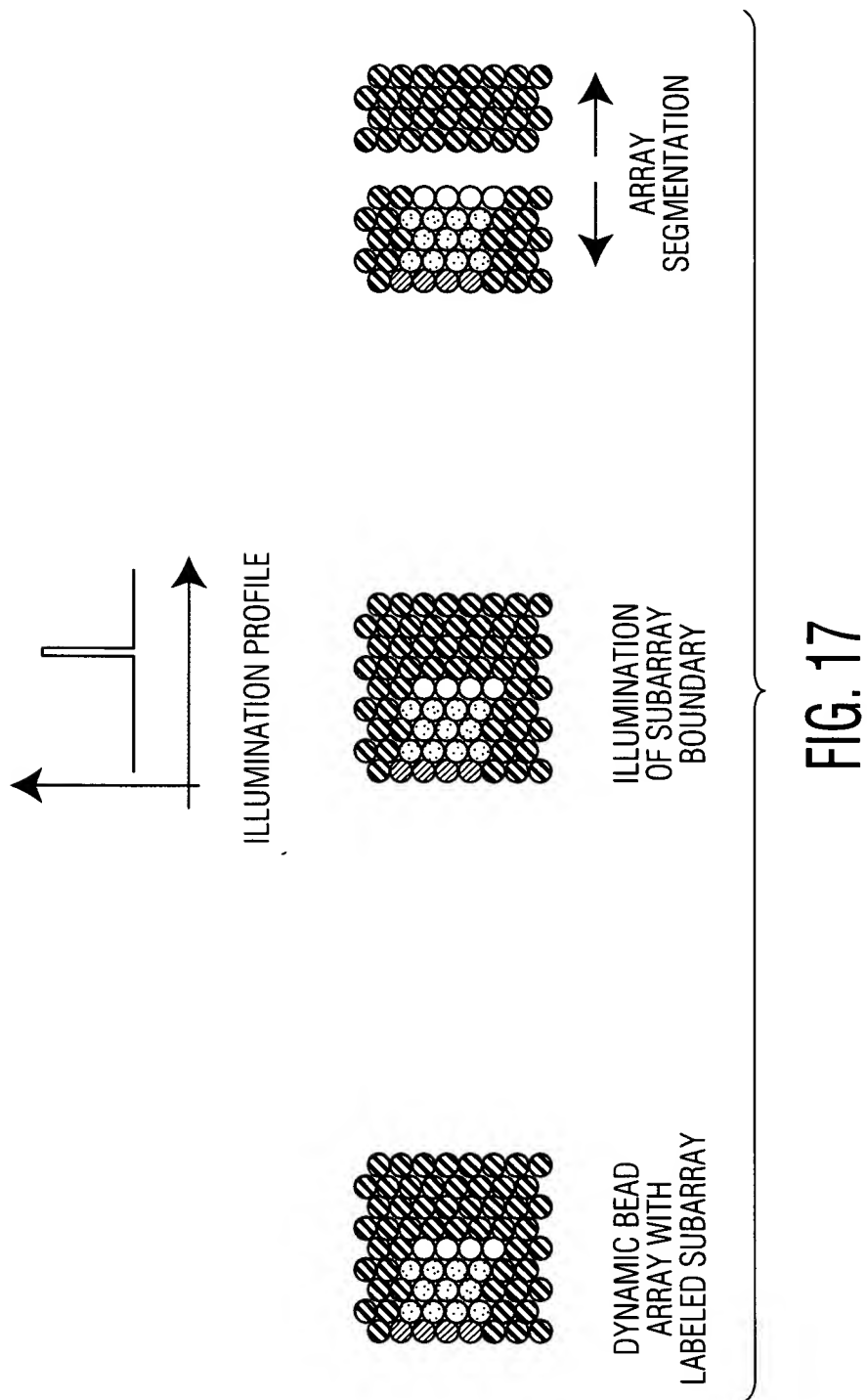


FIG. 15b

FIG. 16





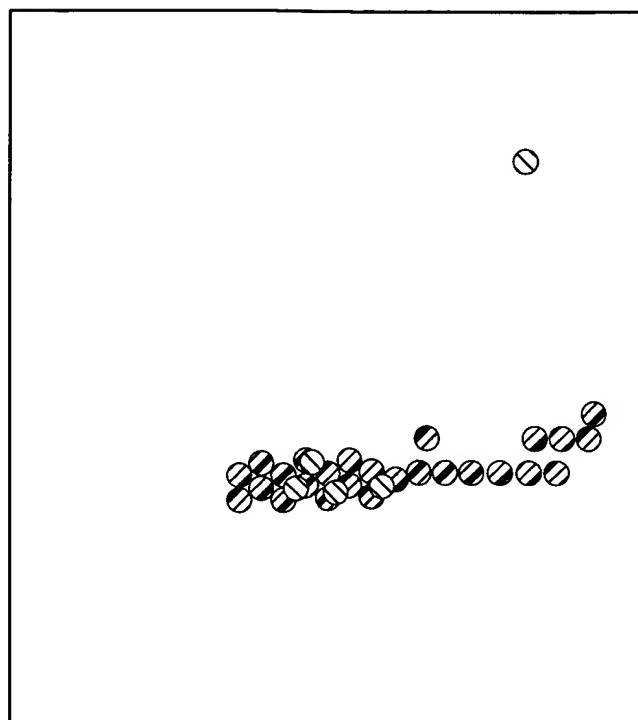


FIG. 18b

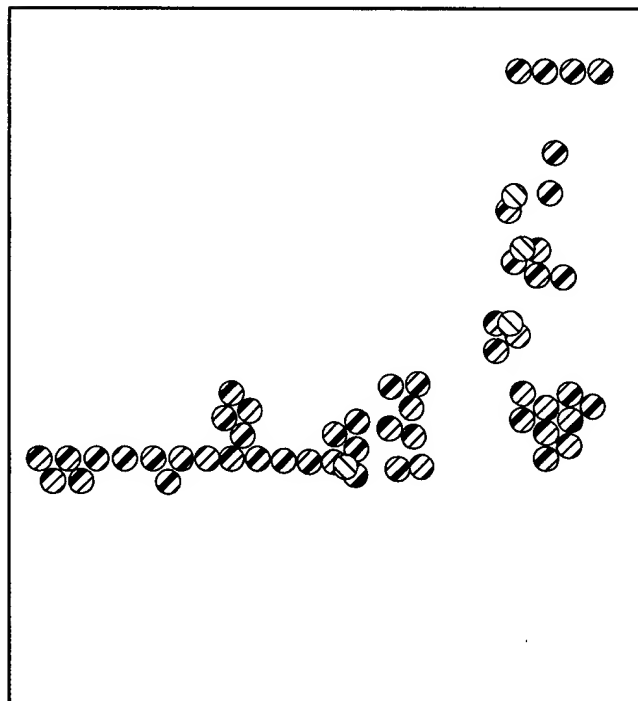
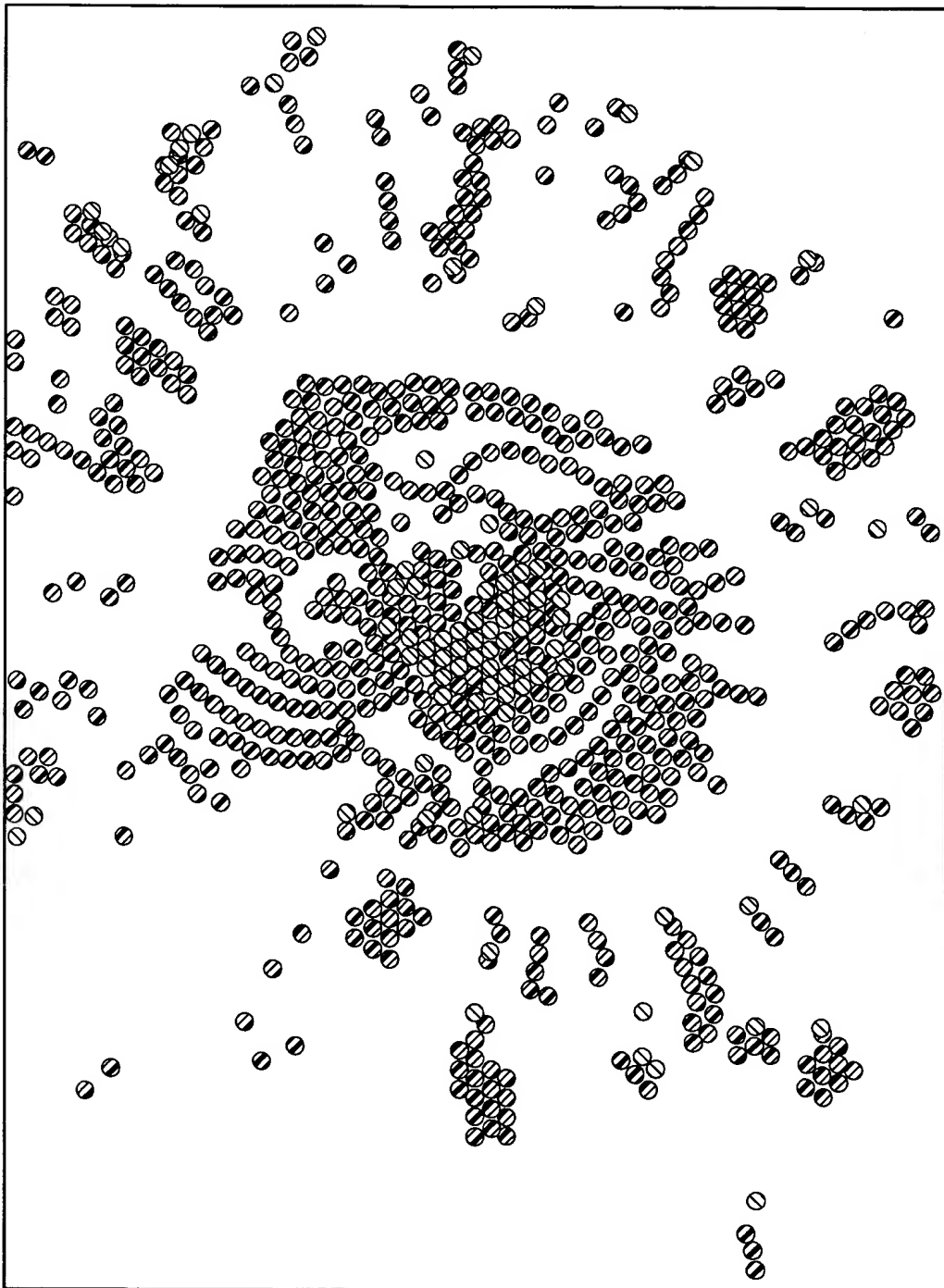


FIG. 18a

FIG. 19



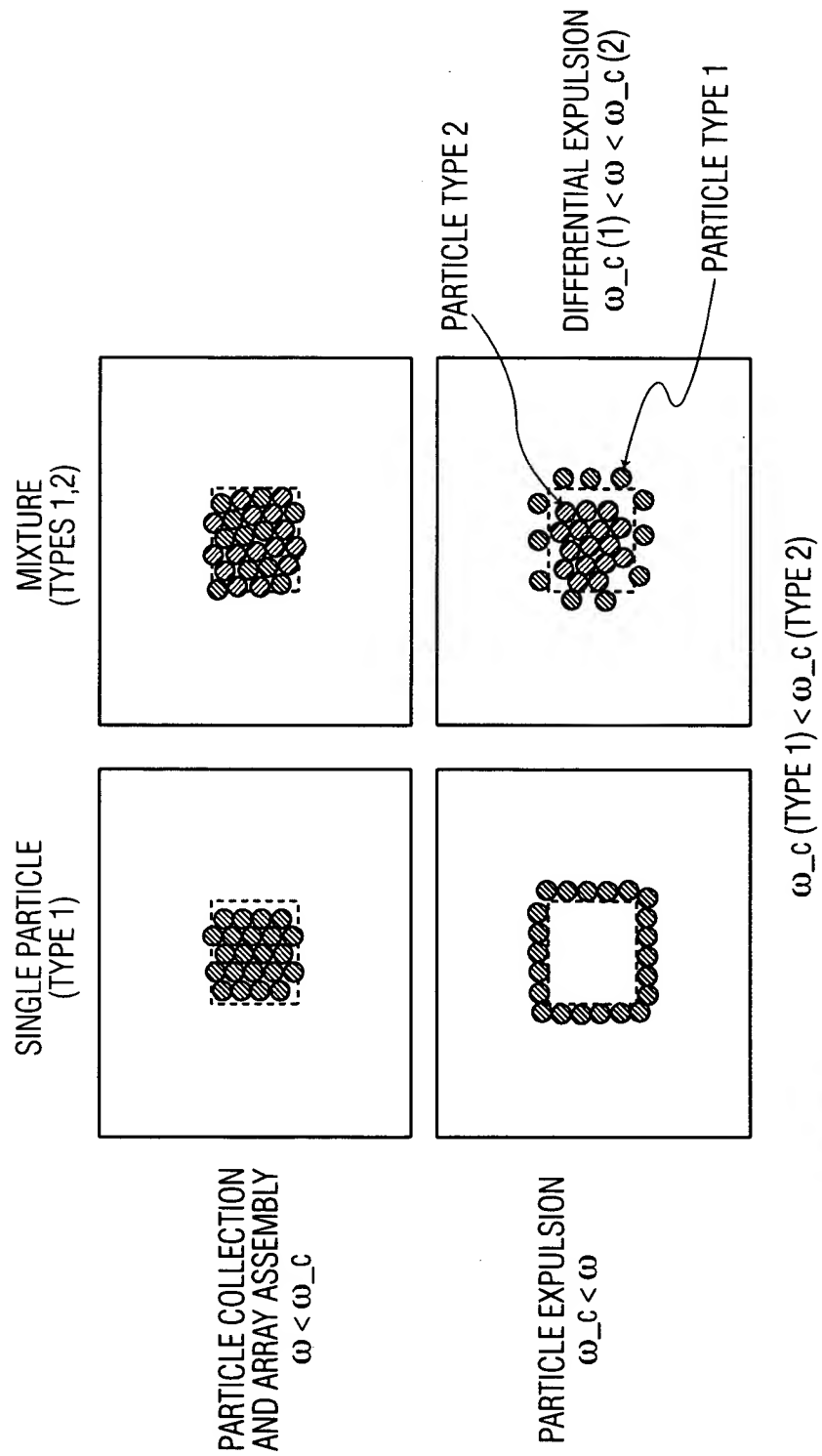


FIG. 20a

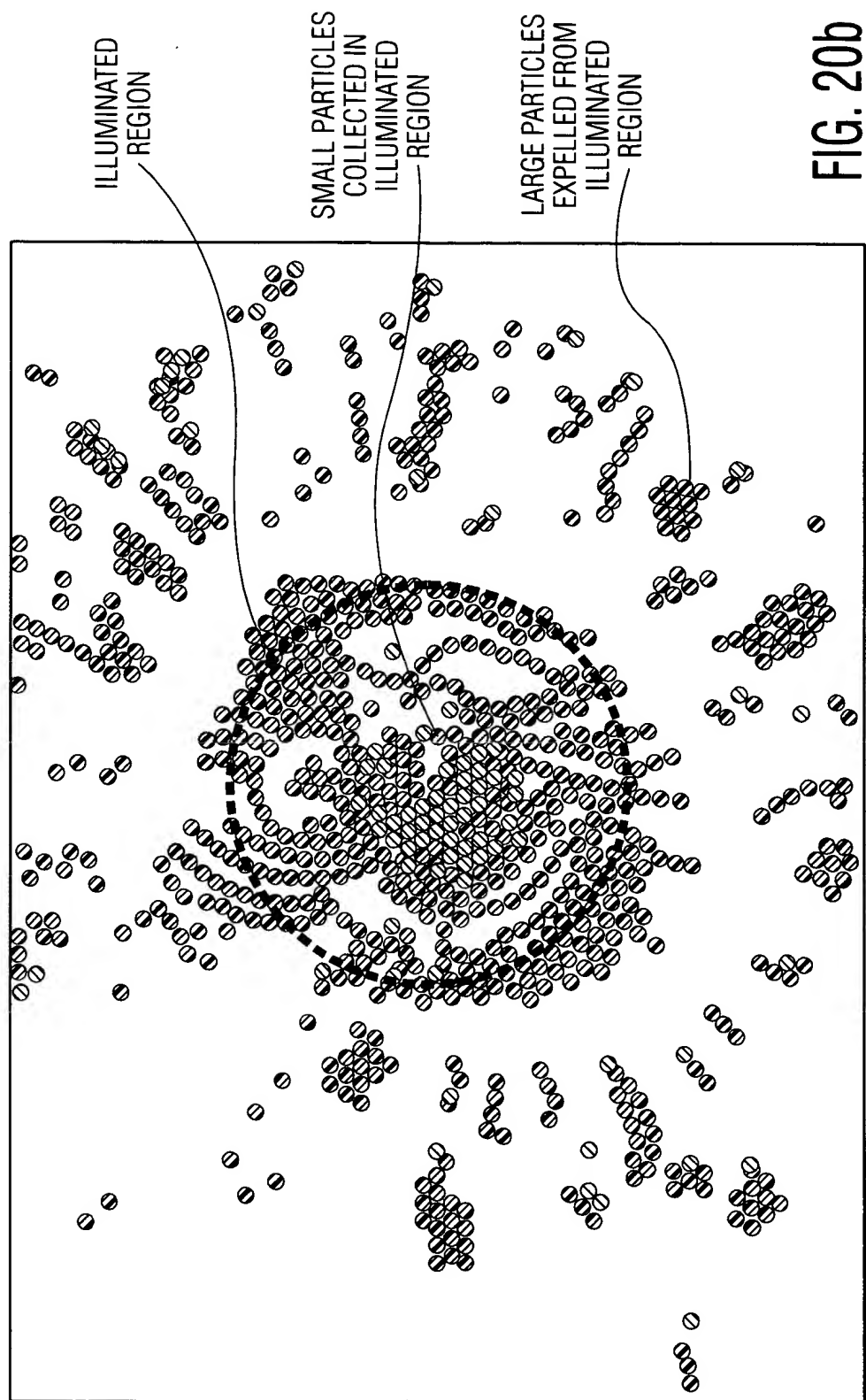


FIG. 20b

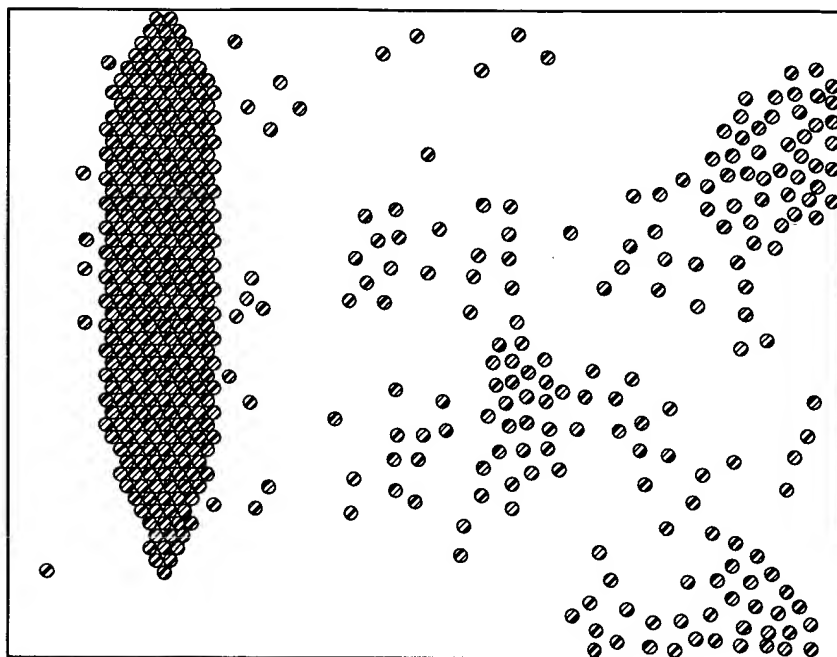


FIG. 21a

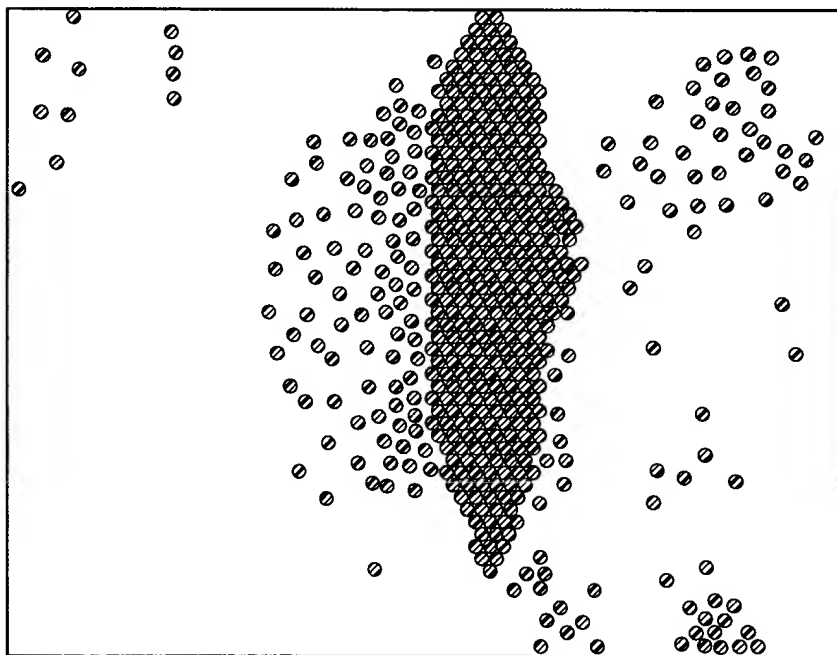


FIG. 21b

ENCODING METHODOLOGIES

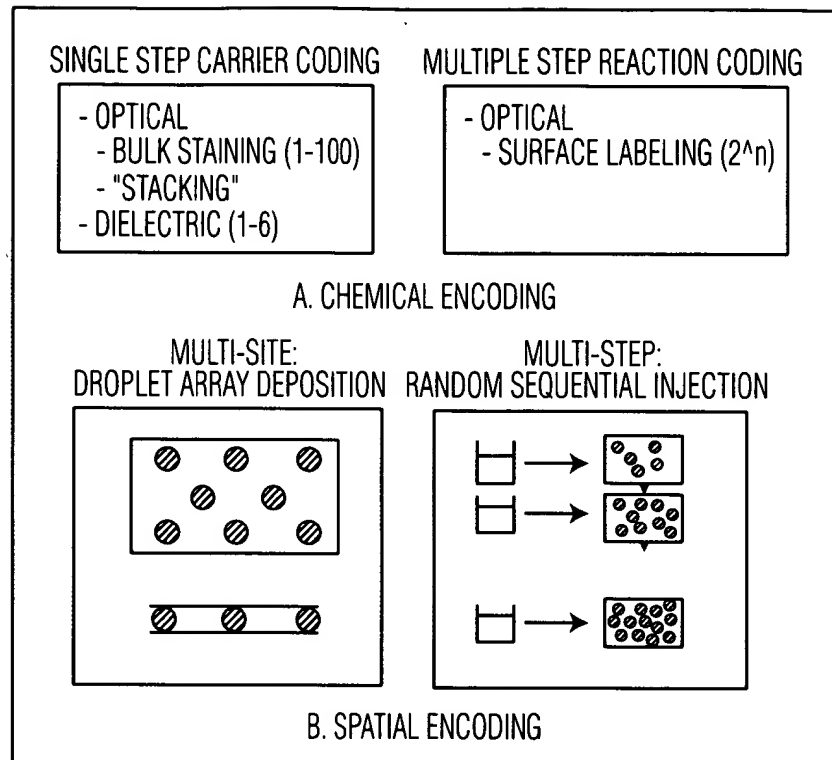


FIG. 22a

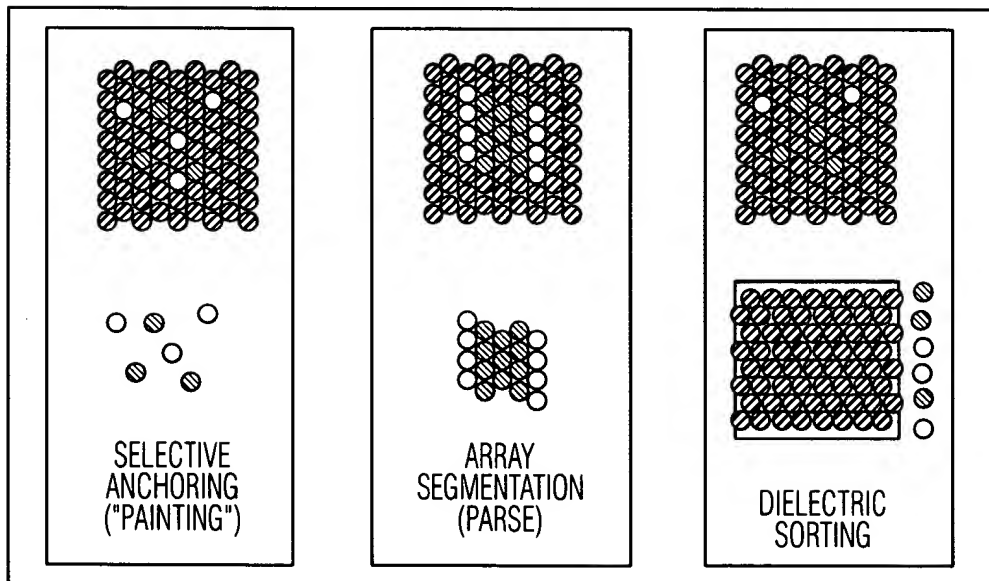


FIG. 22b

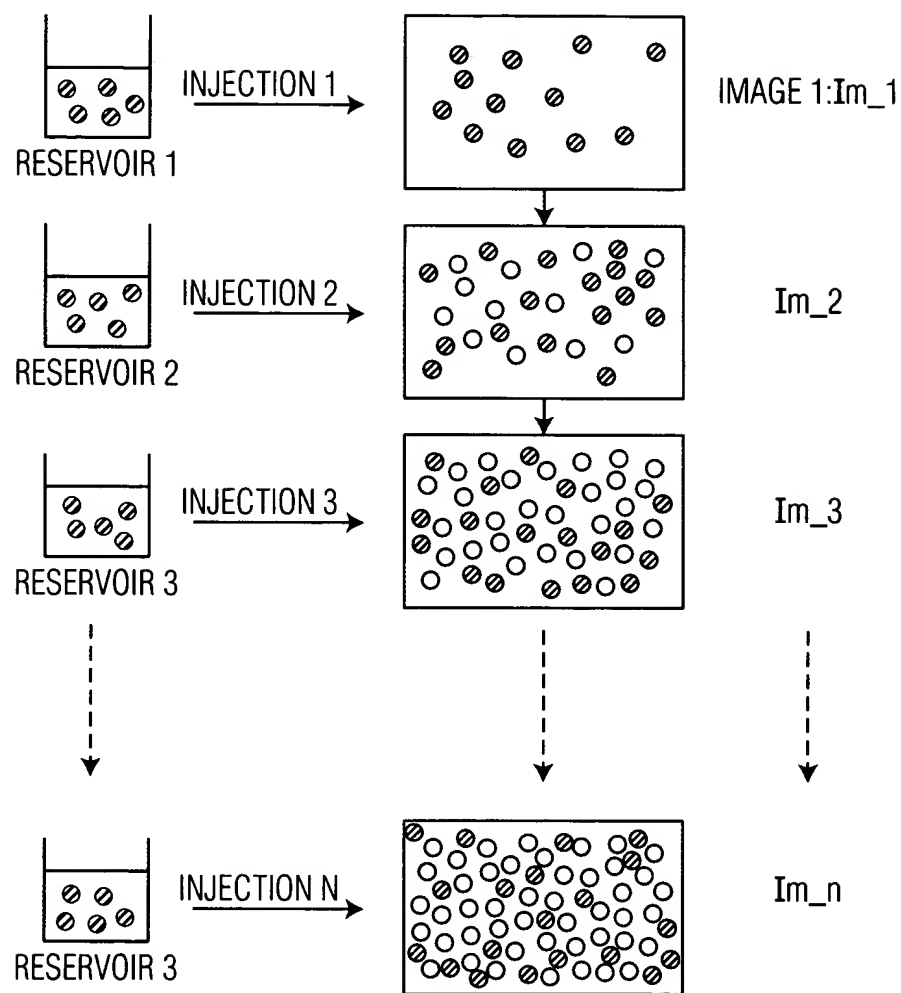


FIG. 23

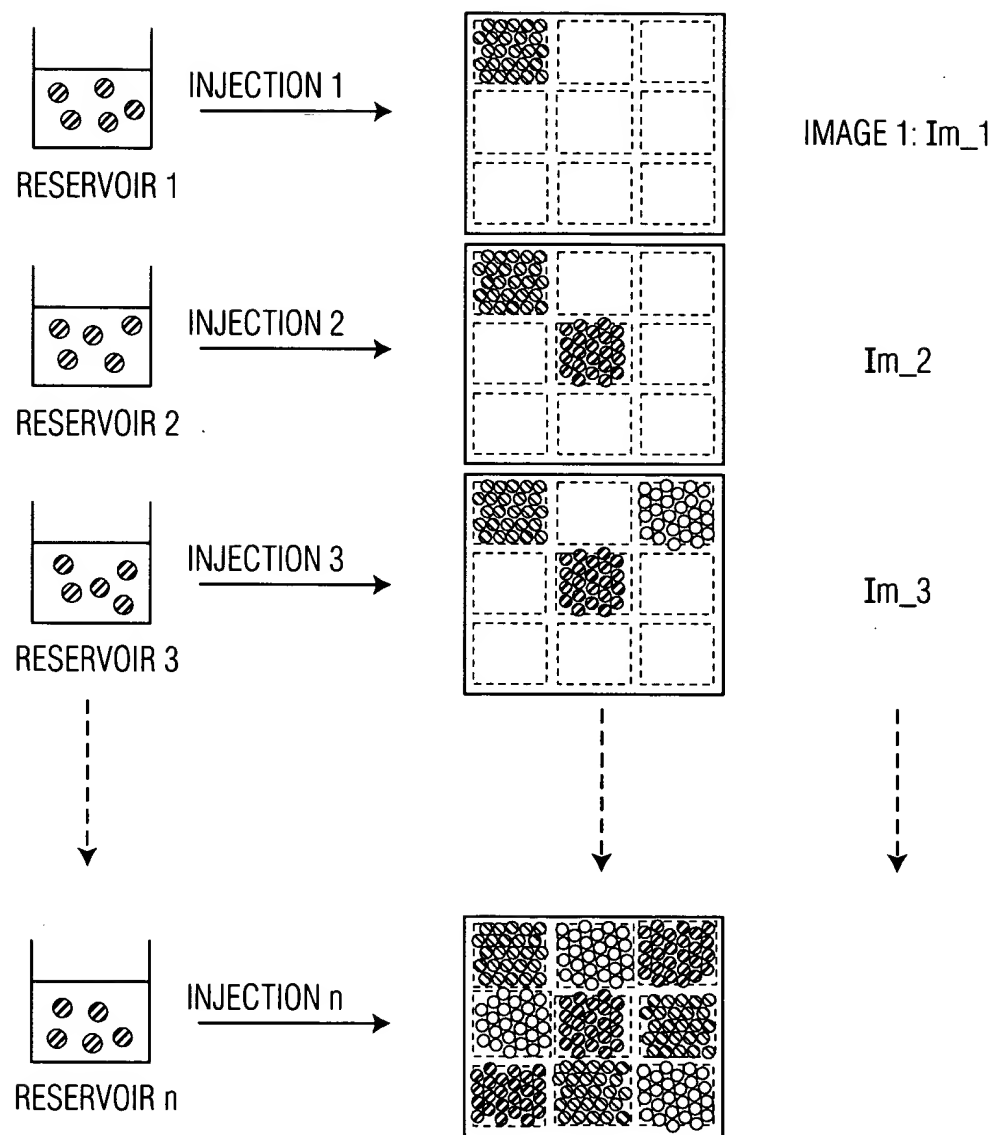


FIG. 24

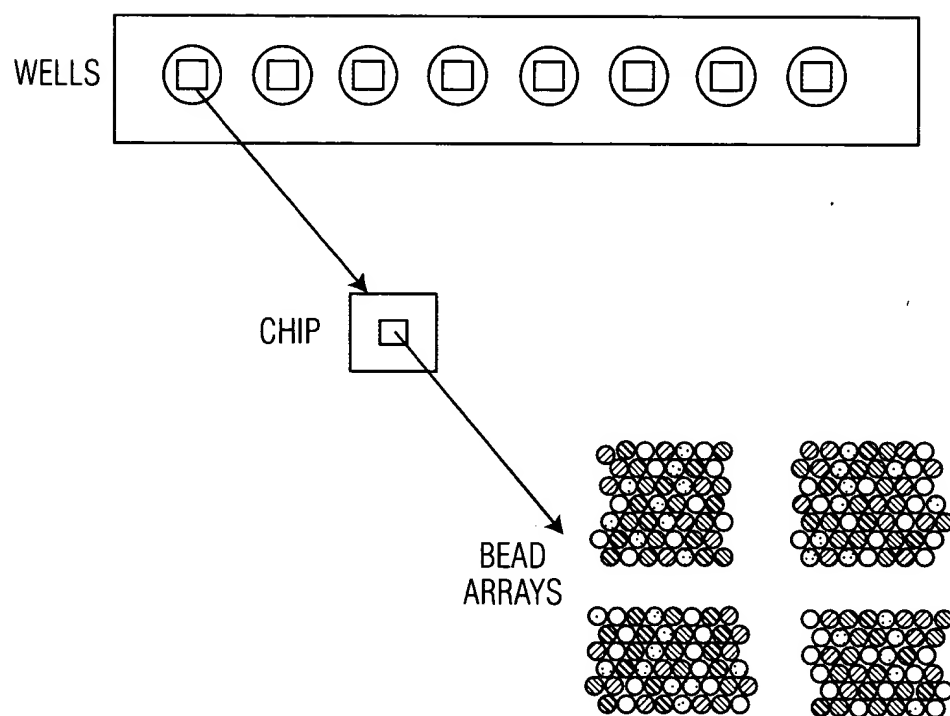


FIG. 25a

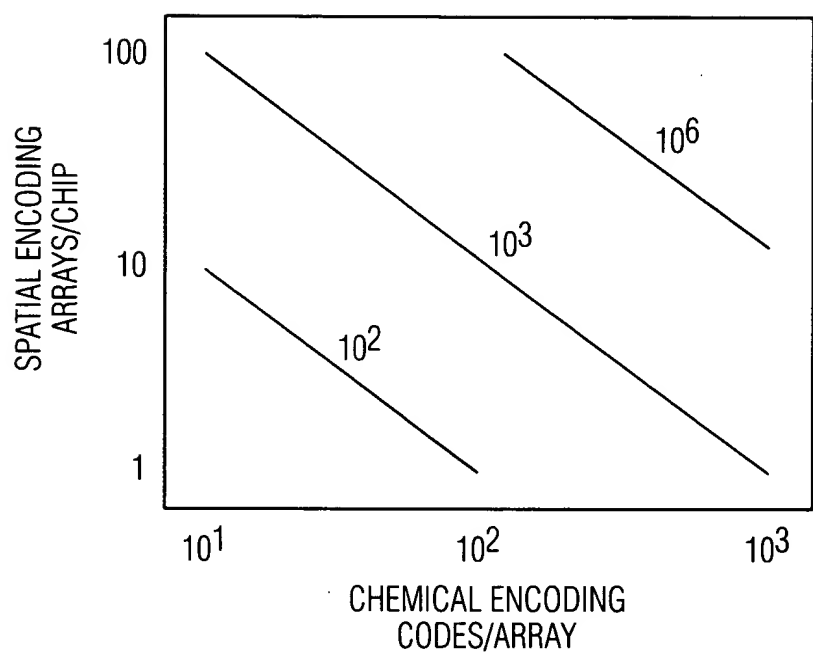


FIG. 25b

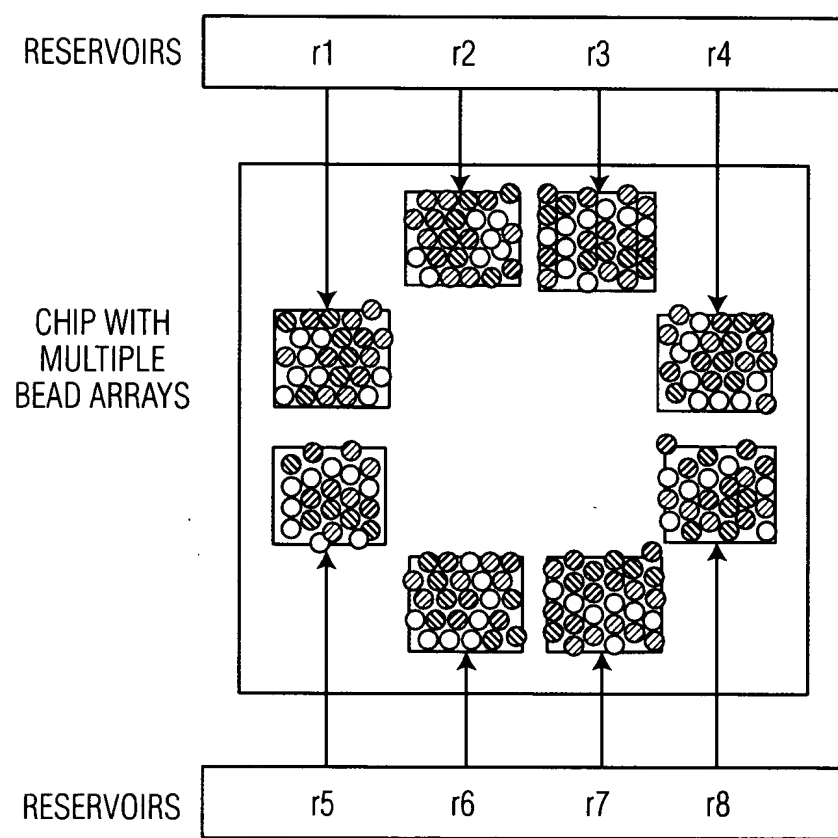


FIG. 25c

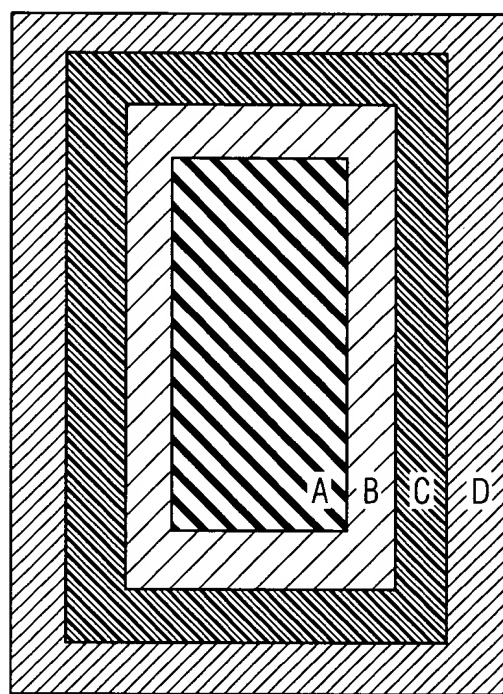


FIG. 26a

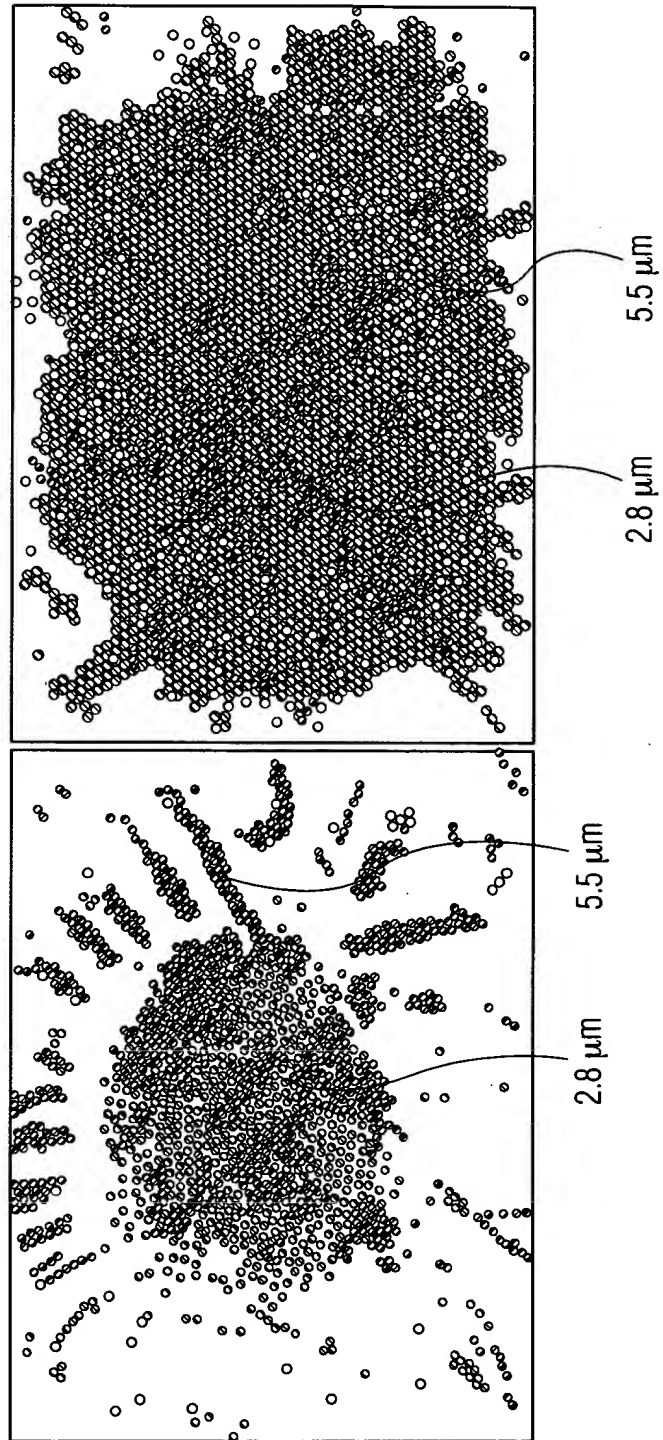
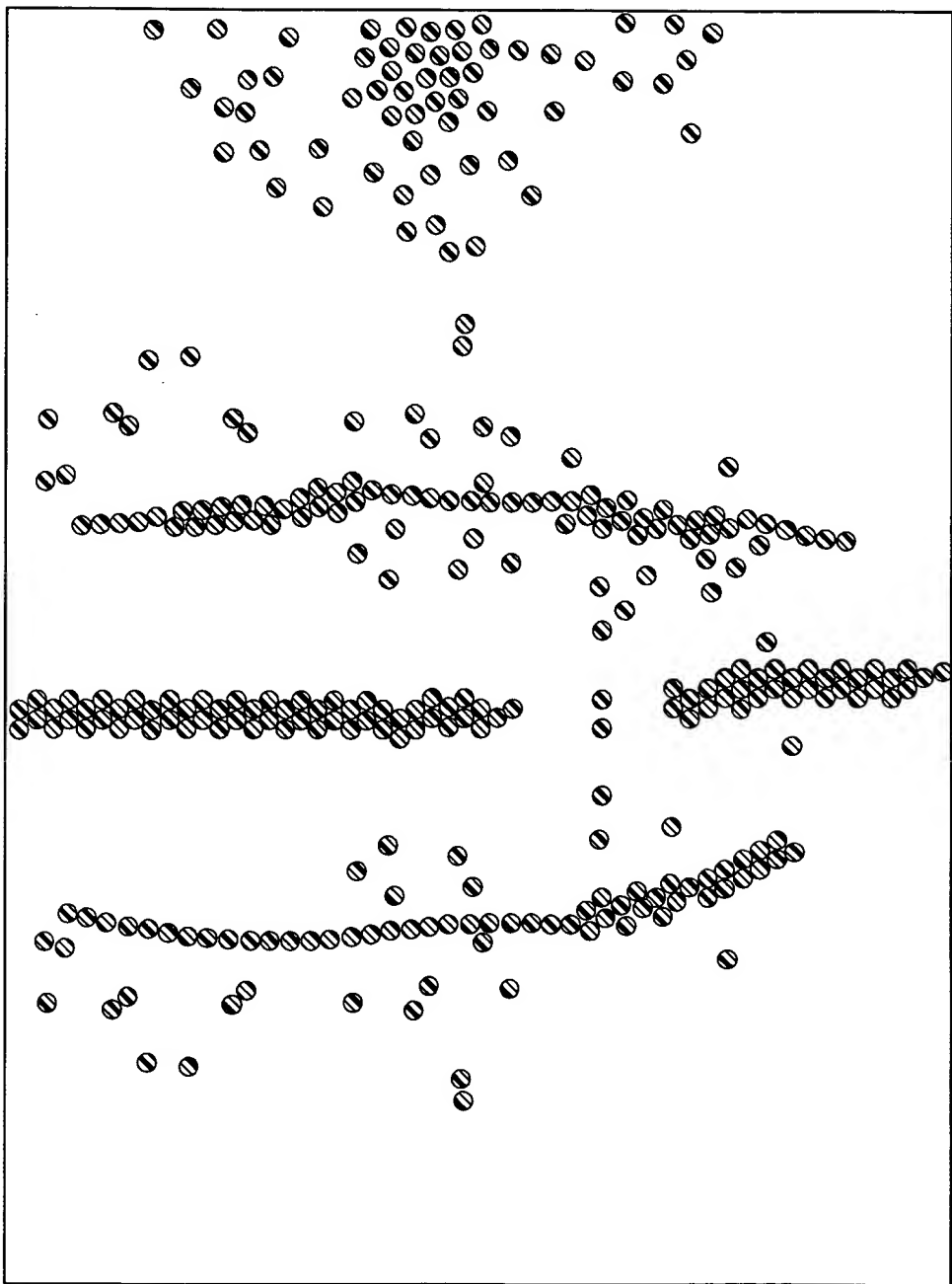


FIG. 26b

BEST AVAILABLE COPY

FIG. 27



REST AVAILABLE COPY

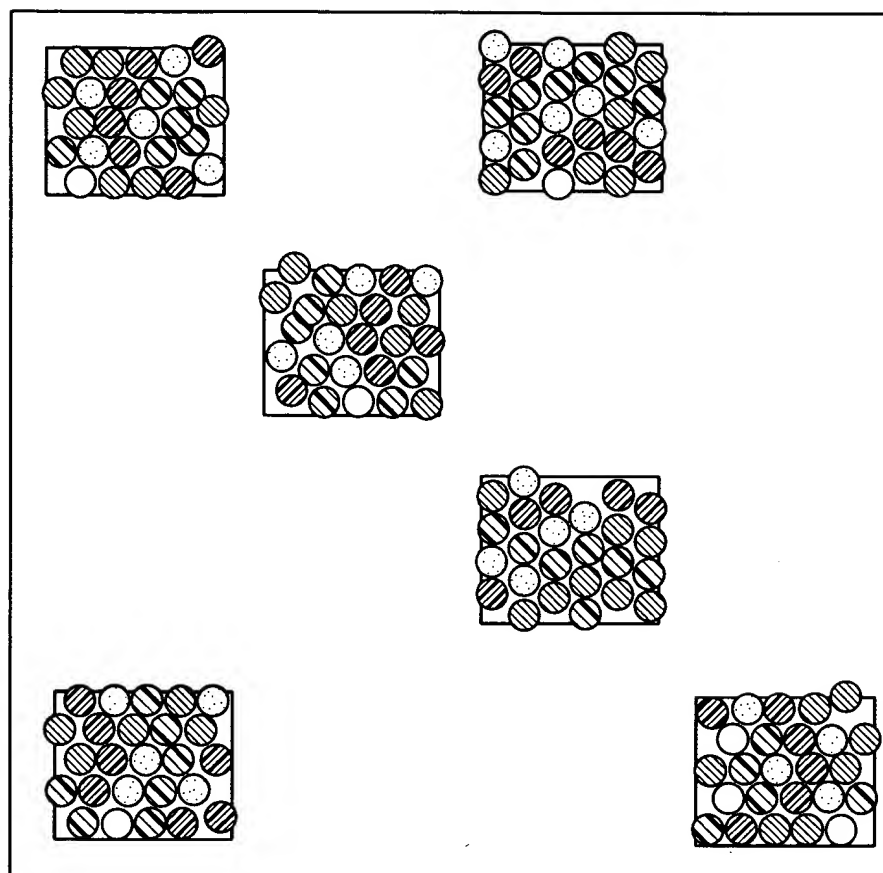
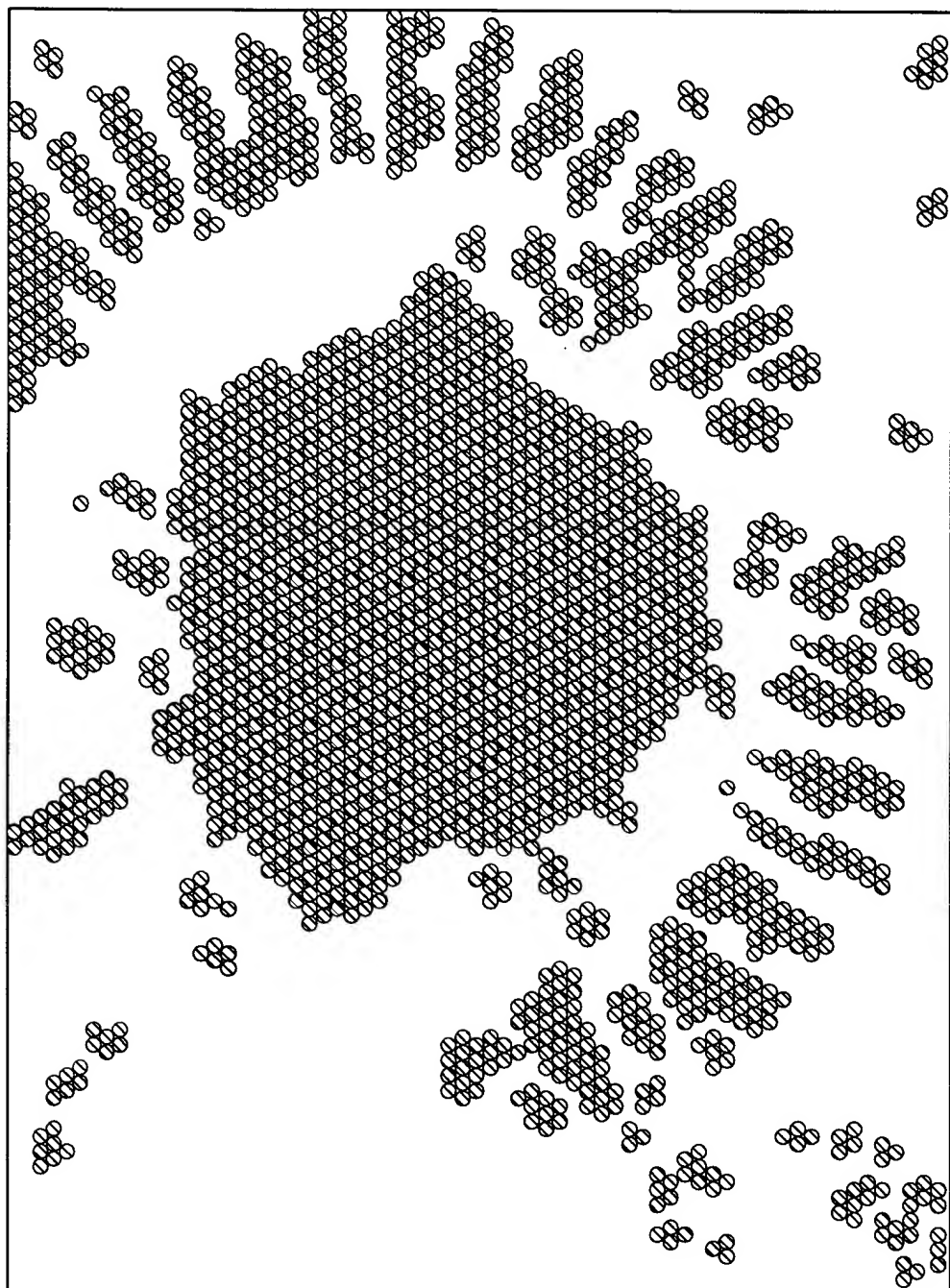


FIG. 28

41/41

FIG. 29



REF ID: A1141F COPY